

## บทที่ 6

### การตรวจสอบความถูกต้องของโปรแกรมคอมพิวเตอร์

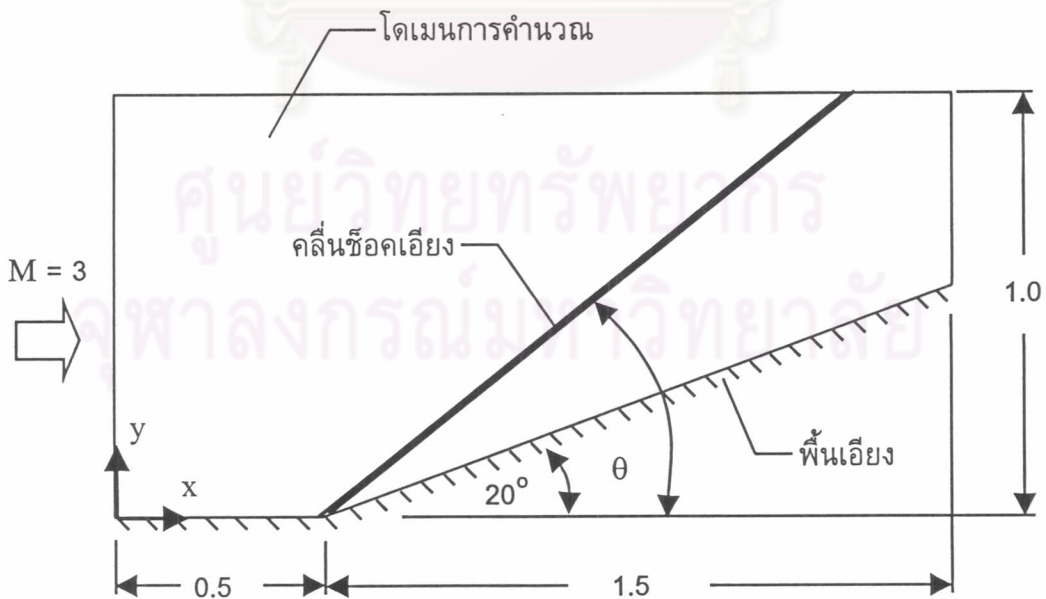
โปรแกรมคอมพิวเตอร์ที่ประดิษฐ์ขึ้นสำหรับปัญหาการไหลความเร็วสูง 2 โปรแกรม ปัญหาการถ่ายเทความร้อนที่ขึ้นกับเวลาและปัญหากลศาสตร์ของแข็งอย่างละ 1 โปรแกรม ได้ถูกตรวจสอบความถูกต้องกับผลเฉลยแม่นยำ ผลการทดลอง และผลการวิเคราะห์ด้วยวิธีอื่น ๆ ดังรายละเอียดต่อไปนี้

#### 6.1 ตรวจสอบโปรแกรมคอมพิวเตอร์สำหรับปัญหาการไหลความเร็วสูง

โปรแกรม CELLHIFLOW และ TGHIFLOW ที่ประดิษฐ์ขึ้นได้ถูกนำมาตรวจสอบความถูกต้องกับ 3 ตัวอย่างที่เป็นปัญหาการไหลแบบไม่หนืด และอีก 2 ตัวอย่างที่เป็นปัญหาการไหลแบบหนืด ดังนี้

##### 6.1.1 การไหลแบบไม่หนืดด้วยความเร็วที่เร็วกว่าเสียง 3 เท่าผ่านพื้นเอียง

ลักษณะปัญหาของการไหลความเร็วสูงแบบไม่รวมความหนืด (inviscid flow) แสดงในรูปที่ 6.1 ของไหลที่มีความเร็วสูงกว่าเสียง 3 เท่าไหลเข้ามาทางขอบด้านซ้ายของโดเมนการคำนวณ (computational domain) แล้วผ่านมากระทบกับพื้นเอียงที่ทำมุมกับแนวระนาบ  $\delta = 20$  องศา ก่อให้เกิดคลื่นช็อกเอียง (oblique shock wave) เป็นแนวเอียงทำมุม  $\theta$  กับแนวระนาบ

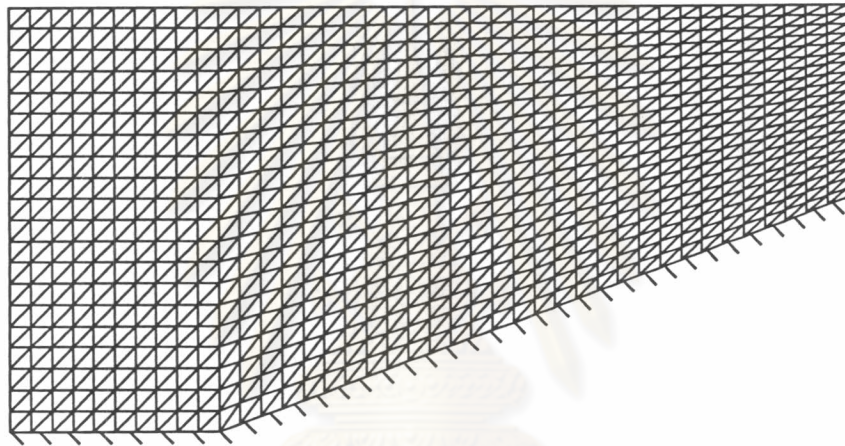


รูปที่ 6.1 การไหลแบบไม่หนืดด้วยความเร็วที่เร็วกว่าเสียง 3 เท่าผ่านพื้นเอียง

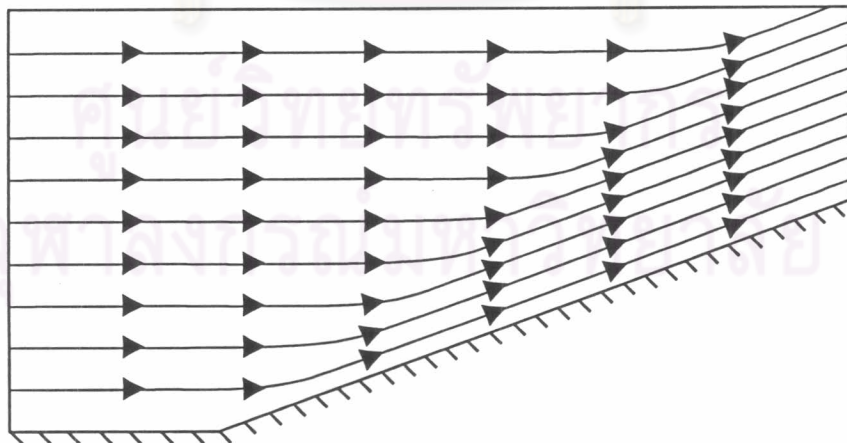
มุม  $\theta$  ของแนวช็อคดังกล่าวสามารถหาได้จากสมการของฟังก์ชันอดิศัย (transcendental function) [18] ดังนี้

$$\tan \delta = 2 \cot \theta \left[ \frac{M_1^2 \sin^2 \theta + 1}{M_1^2 (\gamma + \cos 2\theta) + 2} \right] \quad (6.1)$$

โดย  $M_1$  คือค่ามัคคัมเบอร์ (Mach number) ที่ด้านหน้าก่อนแนวช็อคและ  $\gamma$  คือค่าอัตราส่วนความร้อนจำเพาะของของไหล ส่วนเงื่อนไขขอบเขตการไหลเข้าตลอดขอบทางด้านซ้ายคือ  $p = 1$ ,  $u = 1$ ,  $v = 0$ ,  $\varepsilon = 0.698412$  และ  $\gamma = 1.4$



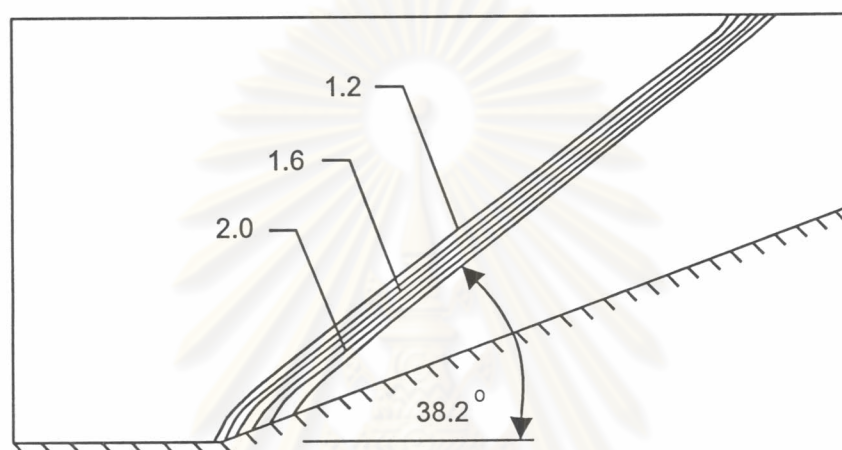
(ก) รูปแบบไฟไนต์เอลิเมนต์



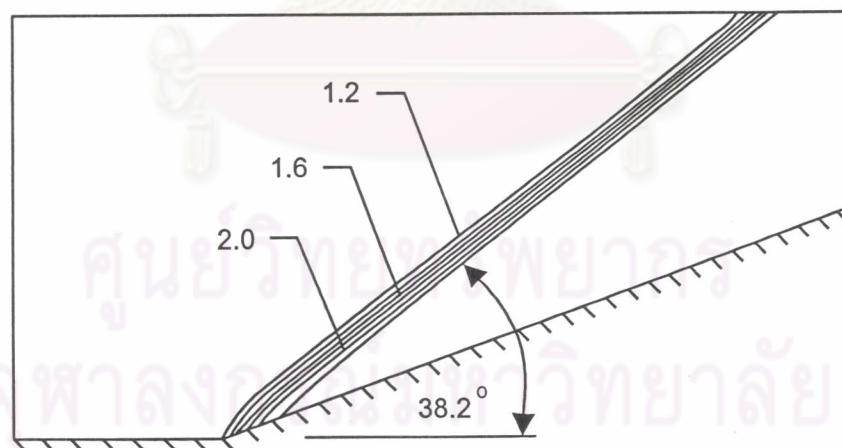
(ข) สตรีมไลน์

รูปที่ 6.2 รูปแบบไฟไนต์เอลิเมนต์และทิศทางการไหลแสดงด้วยสตรีมไลน์ สำหรับการไหลแบบไม่หนืดด้วยความเร็วกว่าเสียง 3 เท่าผ่านพื้นเอียง

รูปที่ 6.2 (ก) แสดงการจัดรูปแบบไฟไนต์เอลิเมนต์ของปัญหาซึ่งประกอบด้วยเอลิเมนต์แบบสามเหลี่ยมที่มีขนาด 0.05 จำนวน 1600 เอลิเมนต์ และ 861 จุดต่อ จากนั้นนำโปรแกรม CELLHIFLOW และ TGHIFLOW มาทำการคำนวณหาผลลัพธ์ตลอดโดเมนการไหลทั้งหมด ผลลัพธ์ของความเร็ว  $u$  และ  $v$  ได้แสดงอยู่ในรูปแบบสตรีมไลน์ (stream lines) ในรูป 6.2 (ข) รูปดังกล่าวแสดงถึงการไหลที่เข้ามาทางด้านซ้ายของโดเมนเป็นไปอย่างสม่ำเสมอ (uniform) ในแนวระดับก่อนผ่านคลื่นช็อกทำให้ทิศทางการไหลของความเร็วนั้นเปลี่ยนไปขนานกับพื้นเอียงอย่างฉับพลัน



(ก) ค่าความหนาแน่นที่คำนวณด้วยโปรแกรม TGHIFLOW



(ข) ค่าความหนาแน่นที่คำนวณด้วยโปรแกรม CELLHIFLOW

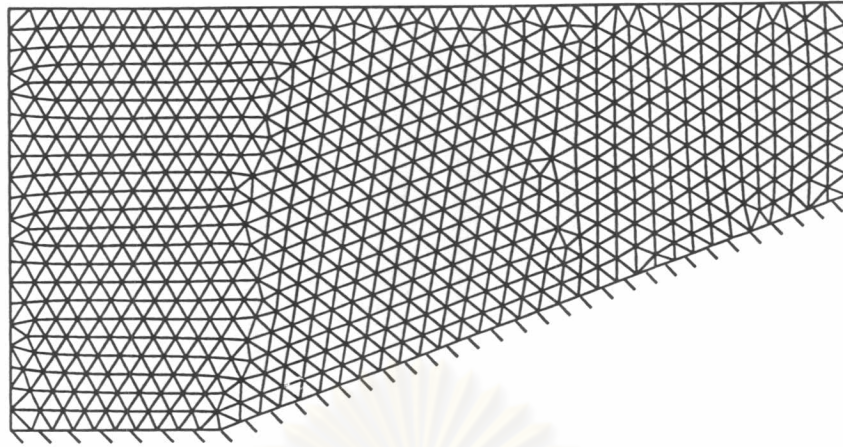
รูปที่ 6.3 การกระจายความหนาแน่นของของไหลสำหรับการไหลแบบไม่หนืดด้วยความเร็วที่เสียง 3 เท่าผ่านพื้นเอียง

สำหรับค่าความหนาแน่นที่เกิดขึ้นบนโดเมนการไหลสามารถแสดงได้ด้วยเส้นชั้นดังในรูปที่ 6.3 (ก) เป็นผลการคำนวณด้วยโปรแกรม CELLHIFLOW และรูปที่ 6.3 (ข) เป็นผลการคำนวณด้วย TGHIFLOW ผลความหนาแน่นของการไหลที่เกิดขึ้นจะเกิดการเปลี่ยนแปลงอย่างกะทันหันผ่านแนวของคลื่นช็อคโดยเพิ่มค่าจาก 1 ไปเป็น 2.52 สำหรับผลการคำนวณด้วยโปรแกรม TGHIFLOW และ 2.45 สำหรับผลการคำนวณด้วยโปรแกรม CELLHIFLOW พบว่าผลลัพธ์ที่คำนวณได้จาก 2 โปรแกรมมีค่าใกล้เคียงกับผลเฉลยแม่นยำตรงคือ 2.42 ที่คำนวณมาจาก [18]

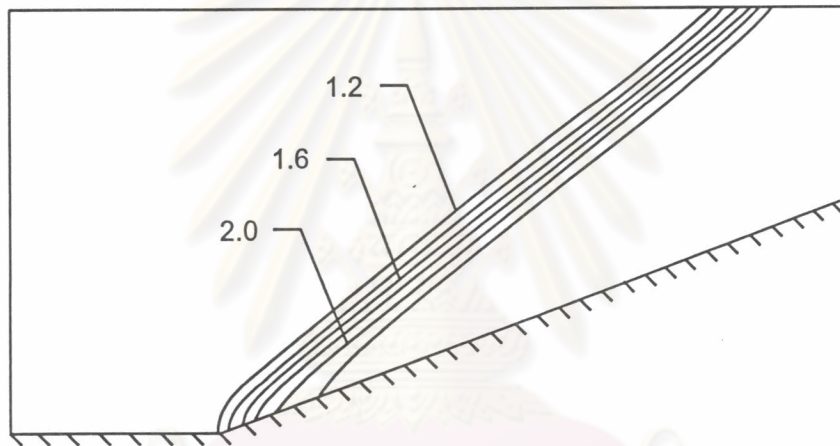
$$\rho_2 = \rho_1 \left[ \frac{(\gamma + 1)M_1^2 \sin^2 \theta}{(\gamma - 1)M_1^2 \sin^2 \theta + 2} \right] \quad (6.2)$$

โดยตัวห้อย 1 และ 2 แสดงถึงค่าก่อนและหลังแนวช็อคตามลำดับ นอกจากนั้นมุมของแนวช็อคที่เกิดขึ้นนั้นคือ 37.8 องศา ซึ่งมีค่าใกล้เคียงกับมุม  $\theta$  ที่คำนวณได้จากสมการ (6.1) เช่นกัน

จากผลลัพธ์ที่คำนวณได้จะเห็นได้ว่าแนวของคลื่นช็อคยังคงกว้างอยู่มาก และสามารถทำให้แคบลงได้หากมีการใช้เอลิเมนต์ขนาดเล็กเฉพาะในบริเวณดังกล่าว ซึ่งลำดับถัดไปจะแสดงการประยุกต์ใช้เทคนิคการปรับขนาดเอลิเมนต์โดยอัตโนมัติร่วมกับโปรแกรม CELLHIFLOW ดังแสดงรายละเอียดไว้ในบทที่ 4 เริ่มจากการสร้างรูปแบบไฟไนต์เอลิเมนต์ที่มีขนาดเอลิเมนต์ใกล้เคียงกัน จำนวน 1,401 เอลิเมนต์ และ 757 จุดต่อ ดังแสดงในรูปที่ 6.4 (ก) และรูปที่ 6.4 (ข) แสดงเส้นชั้นความหนาแน่นที่คำนวณได้จากโปรแกรม CELLHIFLOW จากนั้นนำค่าความหนาแน่นดังกล่าวตลอดทั้งโดเมนการไหลมาทำการคำนวณหาขนาดและทิศทางการวางตัวของเอลิเมนต์ใหม่ และสร้างรูปแบบไฟไนต์เอลิเมนต์ขึ้นมาใหม่ที่มีจำนวนเอลิเมนต์สามเหลี่ยม 1,701 เอลิเมนต์ 881 จุดต่อ ดังแสดงในรูปที่ 6.5 (ก) และทำการคำนวณหาผลลัพธ์อีกครั้งด้วยโปรแกรม CELLHIFLOW ซึ่งค่าความหนาแน่นที่คำนวณได้แสดงเป็นเส้นชั้นได้ดังในรูปที่ 6.5 (ข) จะเห็นได้ว่าความกว้างของเส้นชั้นความหนาแน่นตลอดแนวคลื่นช็อคแคบลงมาก และได้ทำกระบวนการทั้งหมดอีกครั้งทำให้ได้รูปแบบไฟไนต์เอลิเมนต์ใหม่อีกครั้งดังแสดงในรูปที่ 6.6 (ก) มีเอลิเมนต์สามเหลี่ยมจำนวน 1,397 เอลิเมนต์ 720 จุดต่อและเส้นชั้นความหนาแน่นแสดงในรูปที่ 6.6 (ข) ผลการคำนวณค่าความหนาแน่นที่เกิดขึ้นจากรูปแบบไฟไนต์เอลิเมนต์ทั้งสามสามารถพล็อตตลอดแนว  $x = 1.4$  ดังแสดงในรูป 6.7 พบว่าผลลัพธ์ที่ได้จากการประยุกต์เทคนิคการปรับขนาดเอลิเมนต์โดยอัตโนมัติร่วมกับโปรแกรม CELLHIFLOW จะทำให้คำตอบที่ได้มีความแม่นยำมากยิ่งขึ้น ในขณะที่ใช้จำนวนจุดต่อที่ใกล้เคียงกัน ทำให้ประหยัดเวลาและหน่วยความจำของเครื่องคอมพิวเตอร์ที่ต้องใช้ในการคำนวณไปได้มาก

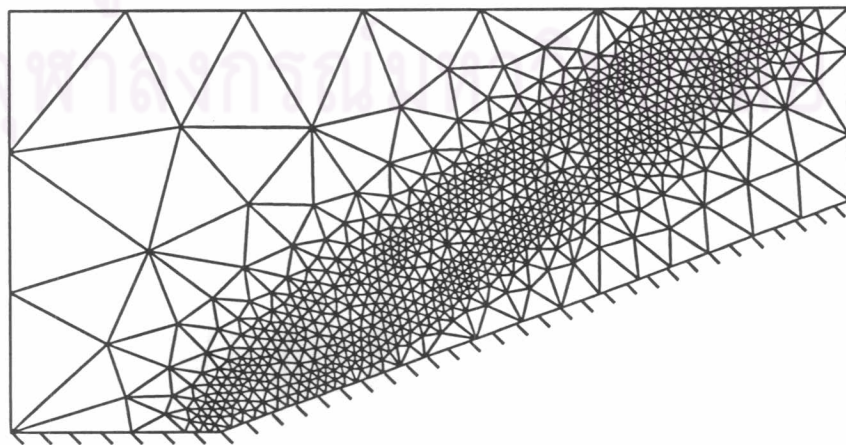


(ก) รูปแบบไฟไนต์เอลิเมนต์เริ่มต้น

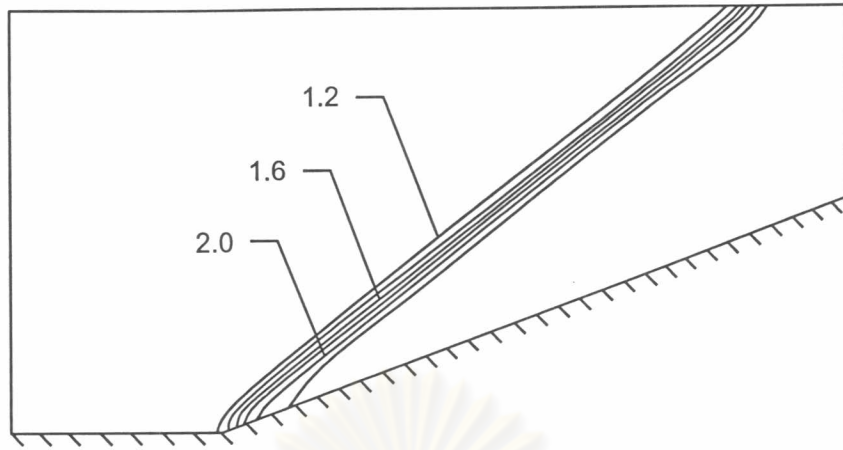


(ข) เส้นชั้นแสดงความหนาแน่น

รูปที่ 6.4 รูปแบบไฟไนต์เอลิเมนต์เริ่มต้นและการกระจายความหนาแน่นของของไหล  
สำหรับการไหลแบบไม่หนืดด้วยความเร็วที่เสียง 3 เท่าผ่านพื้นเอียง

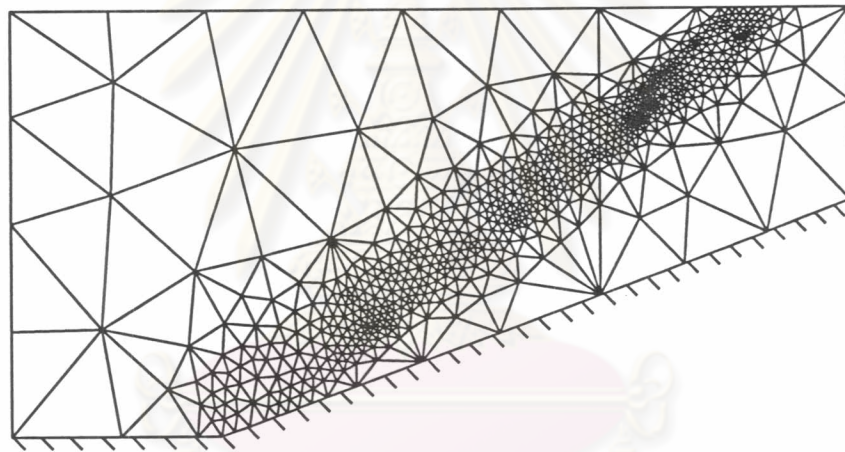


(ค) รูปแบบไฟไนต์เอลิเมนต์ใหม่ครั้งที่หนึ่ง

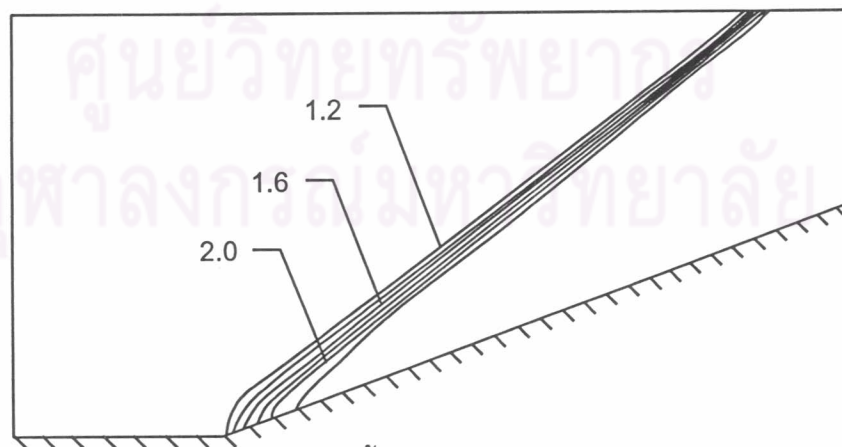


(ข) เส้นชั้นแสดงความหนาแน่น

รูปที่ 6.5 รูปแบบไฟไนต์เอลิเมนต์ใหม่ครั้งที่หนึ่งและการกระจายความหนาแน่นของไหลสำหรับการไหลแบบไม่หนืดด้วยความเร็วที่เสียง 3 เท่าผ่านพื้นเอียง

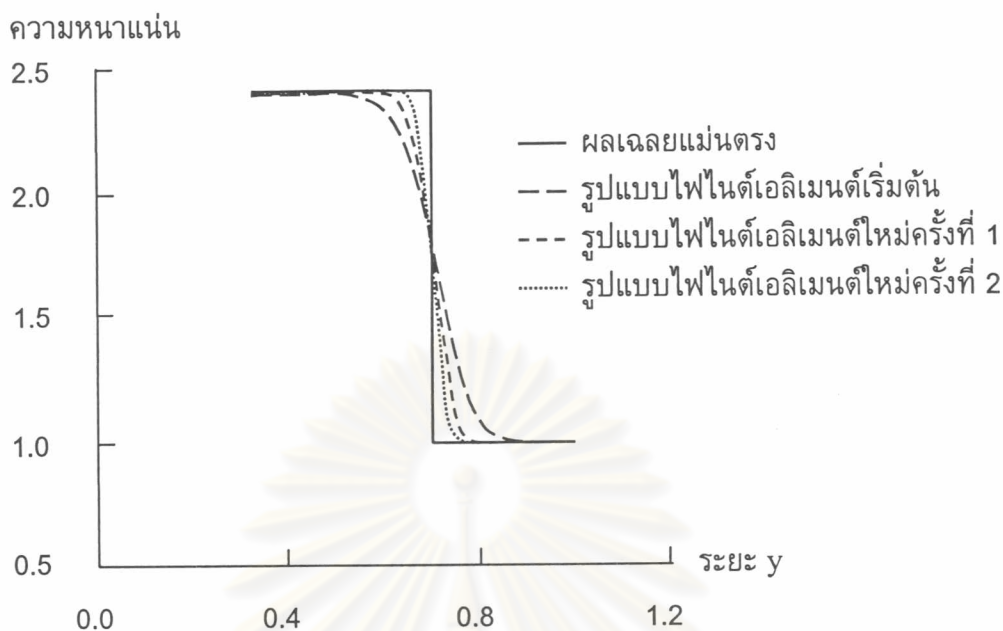


(ก) รูปแบบไฟไนต์เอลิเมนต์ใหม่ครั้งที่สอง



(ข) เส้นชั้นแสดงความหนาแน่น

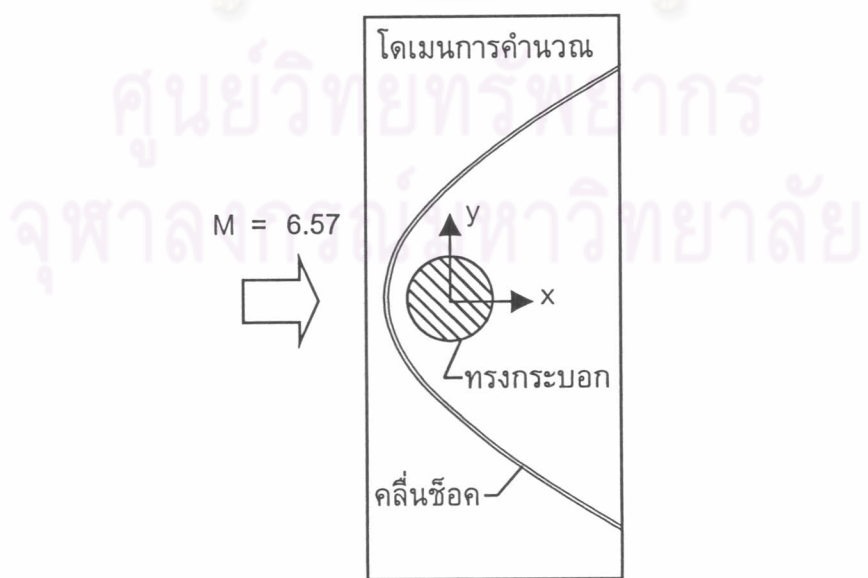
รูปที่ 6.6 รูปแบบไฟไนต์เอลิเมนต์ใหม่ครั้งที่สองและการกระจายความหนาแน่นของไหลสำหรับการไหลแบบไม่หนืดด้วยความเร็วที่เสียง 3 เท่าผ่านพื้นเอียง



รูปที่ 6.7 กราฟแสดงความสัมพันธ์ระหว่างค่าความหนาแน่นกับระยะ y ที่ตำแหน่ง  $x = 1.4$

6.1.2 การไหลความเร็วสูงแบบไม่หนืดผ่านทรงกระบอก

ลักษณะปัญหาเป็นการไหลความเร็วสูงกว่าเสียง 6.57 เท่าเข้ามาทางด้านซ้ายของโดเมนการไหลและปะทะกับผิวโค้งของทรงกระบอกขนาดเส้นผ่าศูนย์กลาง 0.75 นิ้ว ก่อให้เกิดคลื่นช็อกโค้งด้านหน้าห่างจากผิวทรงกระบอก ดังแสดงในรูปที่ 6.8 ความถูกต้องของคำตอบจะตรวจสอบได้จากความแม่นยำในการหาระยะห่างระหว่างแนวช็อกโค้งด้านหน้ากับผิวทรงกระบอก

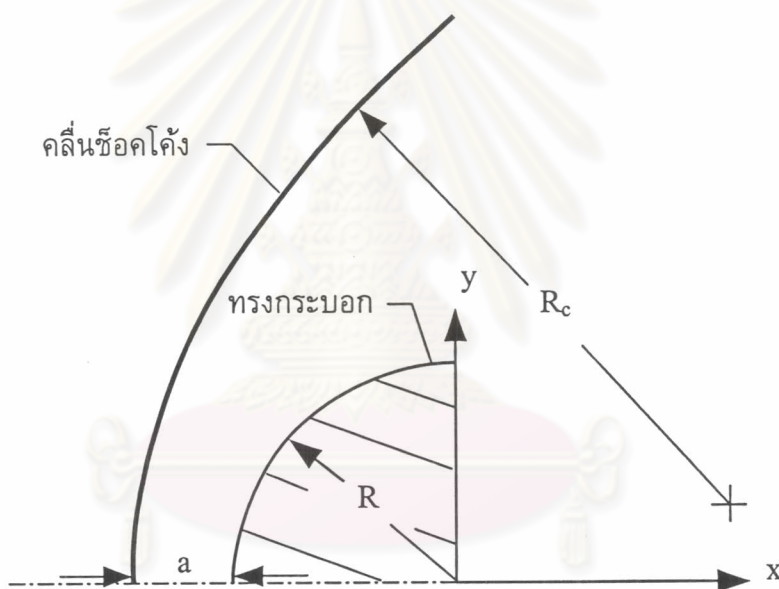


รูปที่ 6.8 ปัญหาการไหลความเร็วสูงแบบไม่หนืดผ่านทรงกระบอก

การหาดำแหน่งของคลื่นช็อกโค้งที่อยู่ด้านหน้าของทรงกระบอกสามารถคำนวณจากแบบจำลองทางคณิตศาสตร์ที่ได้มาจากผลการทดลองดังนี้ [16]

$$x = R + a - R_c (\cot^2 \theta) \left[ \left( 1 + \frac{y^2 \tan^2 \theta}{R_c^2} \right)^{\frac{1}{2}} - 1 \right] \quad (6.3)$$

โดย  $x$  และ  $y$  คือตำแหน่งของคลื่นช็อกในแนวแกน  $x$  และ  $y$  ตามลำดับ  $R$  คือรัศมีของทรงกระบอก  $R_c$  คือรัศมีของแนวคลื่นช็อกโค้ง  $a$  คือระยะห่างระหว่างทรงกระบอกกับแนวช็อกโค้ง และ  $\theta$  คือมุมของแนวช็อกที่ตำแหน่ง  $x$  (attached shock angle) และ  $y$  เมื่อเทียบกับแนวระนาบ ดังแสดงในรูปที่ 6.9



รูปที่ 6.9 แนวคลื่นช็อกของปัญหาการไหลผ่านทรงกระบอกด้วยความเร็วสูงกว่าเสียง 6.57 เท่า

โดยค่ารัศมีของแนวคลื่นช็อก  $R_c$  ระยะห่างระหว่างทรงกระบอกกับแนวช็อก  $a$  และรัศมีของทรงกระบอก  $R$  จะมีความสัมพันธ์กับค่ามัคคัมเบอร์  $M$  ของของไหลด้านขาเข้าดังนี้

$$a = 0.386R e^{\left( \frac{4.67}{M^2} \right)} \quad (6.4)$$

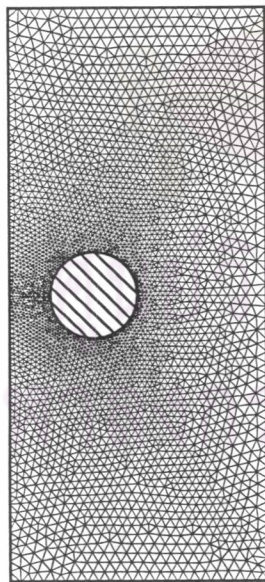
$$R_c = 1.386R e^{\left[ \frac{1.8}{(M-1)^{0.75}} \right]} \quad (6.5)$$



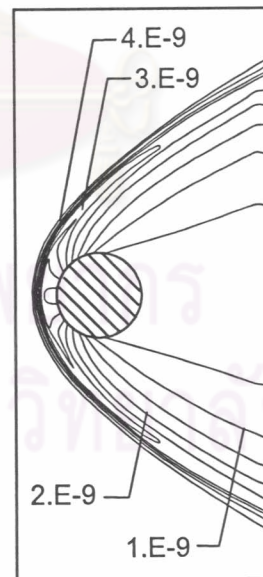
จากนั้นแทนสมการ (6.4) และ (6.5) ลงในสมการ (6.3) ทำให้ได้

$$x = R + 0.386R e^{\left(\frac{4.67}{M^2}\right)} - 1.386R e^{\left[\frac{1.8}{(M-1)^{0.75}}\right]} (\cot^2 \theta) \left[ 1 + \frac{y^2 \tan^2 \theta}{\left(1.386R e^{\left[\frac{1.8}{(M-1)^{0.75}}\right]}\right)^2} \right]^{\frac{1}{2}} - 1 \quad (6.6)$$

สมการ (6.6) สามารถนำมาคำนวณหาตำแหน่งของแนวคลื่นช็อกโค้งได้ด้วยการใช้ระเบียบวิธีแบ่งครึ่งช่วง ดังแสดงในรูปที่ 6.9 และค่าระยะห่างระหว่างแนวช็อกโค้งกับผิวของทรงกระบอกหาได้จากสมการ (6.4) มีค่าเท่ากับ 0.1613 นิ้ว สำหรับปัญหาความเร็วสูงกว่าเสียง 6.57 เท่า พฤติกรรมการไหลที่เกิดขึ้นได้ทำการวิเคราะห์หาค่าตอบด้วยการใช้โปรแกรม TGHIFLOW โดยทำการแบ่งโดเมนการไหลออกเป็นเอลิเมนต์สามเหลี่ยมขนาด 7,156 เอลิเมนต์ 3,727 จุดต่อ ดังแสดงในรูปที่ 6.10 (ก) และคุณสมบัติของของไหลด้านขาเข้าทางซ้ายกำหนดให้  $\rho = 0.810522E-9 \text{ lb}_f - \text{sec}^2 / \text{in}^4$ ,  $u = 0.822991E+5 \text{ in/sec}$ ,  $v = 0$ ,  $\varepsilon = 0.368579E+10 \text{ in}^2 / \text{sec}^2$  และ  $\gamma = 1.38$  ค่าความหนาแน่นที่คำนวณได้สามารถแสดงด้วยเส้นชั้นดังในรูปที่ 6.10 (ข)

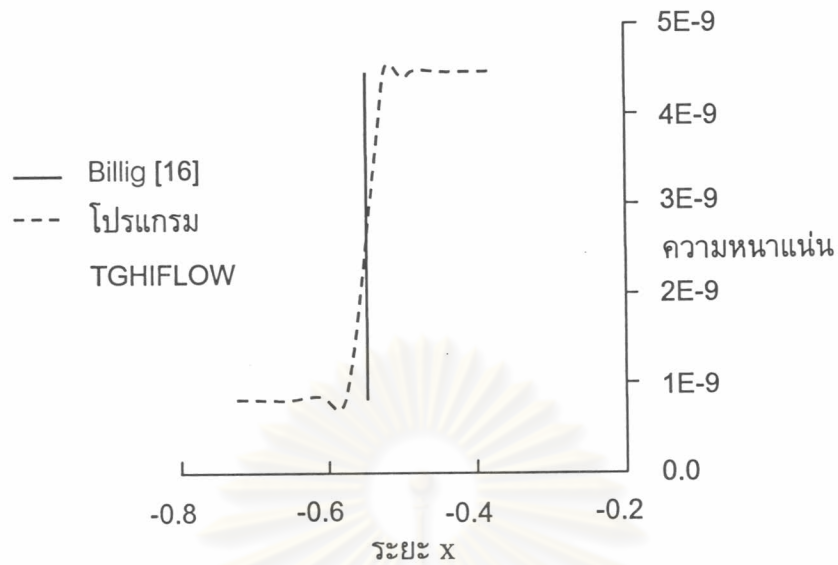


(ก) รูปแบบไฟไนต์เอลิเมนต์



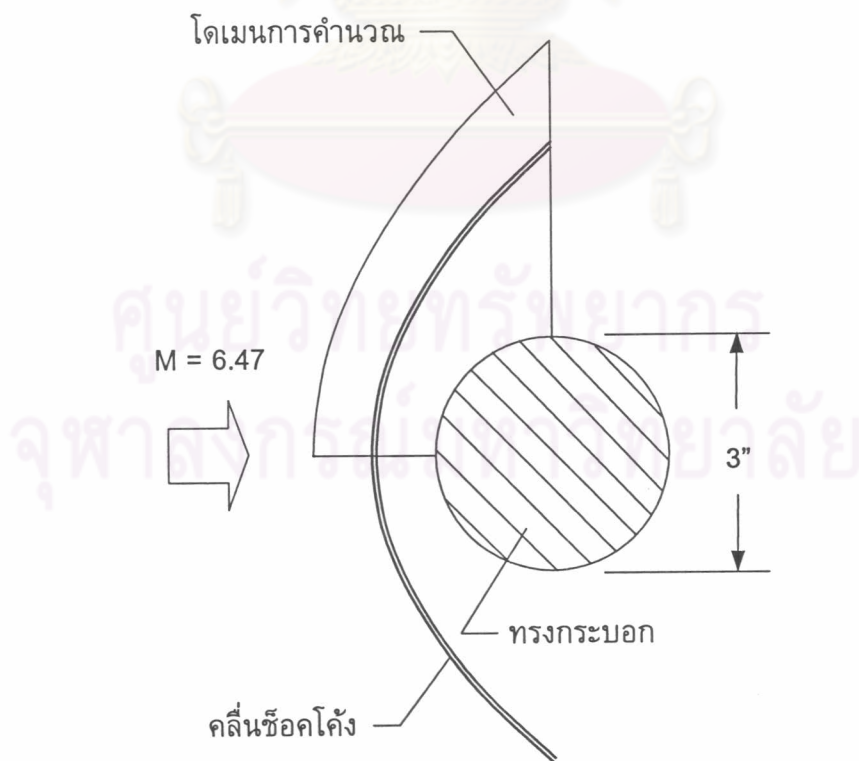
(ข) เส้นชั้นแสดงความหนาแน่น

รูปที่ 6.10 รูปแบบไฟไนต์เอลิเมนต์และการกระจายความหนาแน่นของไหลความเร็วสูงกว่าเสียง 6.57 เท่าไหลผ่านทรงกระบอก



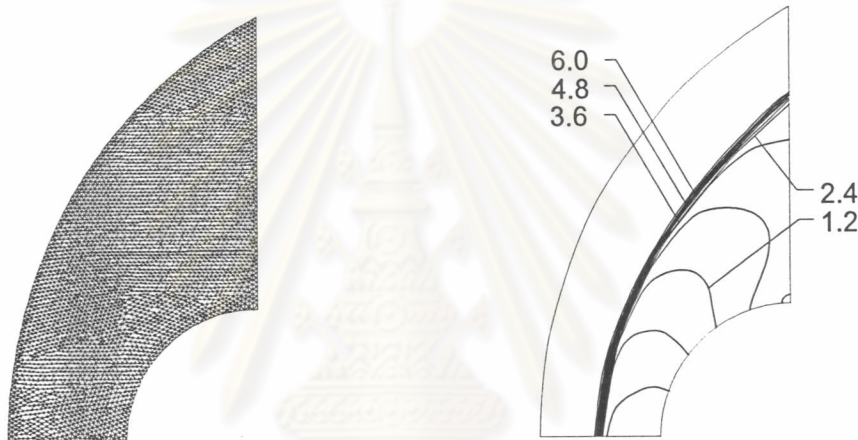
รูปที่ 6.11 กราฟความสัมพันธ์ระหว่างความหนาแน่นกับระยะจากจุดศูนย์กลางทรงกระบอกของของไหลความเร็วสูงกว่าเสียง 6.57 เท่าไหลผ่านทรงกระบอก

รูปที่ 6.11 เป็นการพล็อตค่าความหนาแน่นตามระยะทางแนวแกน x ทางด้านซ้ายของผิวทรงกระบอก โดยเปรียบเทียบผลลัพธ์ที่คำนวณได้จากสมการ 6.4 กับโปรแกรม TGHIFLOW



รูปที่ 6.12 การไหลแบบไม่หนืดด้วยความเร็วสูงกว่าเสียง 6.47 เท่าผ่านทรวงกระบอก

ปัญหาการไหลผ่านทรงกระบอกจะมีความสมมาตร ทำให้สามารถทำการวิเคราะห์ปัญหาเพียงครึ่งบนเหนือทรงกระบอกได้ ดังแสดงในรูปที่ 6.12 ลักษณะปัญหาเป็นการไหลแบบไม่หนืดที่มีความเร็วสูงกว่าเสียง 6.47 เท่าผ่านครึ่งบนของทรงกระบอกขนาดเส้นผ่าศูนย์กลาง 3 นิ้ว และมีคุณสมบัติด้านขาเข้าคือ  $\rho = 0.84768698E-9 \text{ lb}_f - \text{sec}^2 / \text{in}^4$ ,  $u = 0.80088E+5 \text{ in/sec}$ ,  $v = 0$ ,  $\epsilon = 0.349923E+10 \text{ in}^2 / \text{sec}^2$  และ  $\gamma = 1.38$  ปัญหานี้ได้ใช้โปรแกรม CELLHIFLOW ร่วมกับเทคนิคการปรับขนาดเอลิเมนต์โดยอัตโนมัติ เพื่อให้ได้คำตอบที่มีความแม่นยำมากยิ่งขึ้น โดยเริ่มจากการแบ่งเอลิเมนต์สามเหลี่ยมเริ่มต้นจำนวน 7,507 เอลิเมนต์ 3,883 จุดต่อ ดังแสดงในรูปที่ 6.13 (ก) และเมื่อทำการคำนวณด้วยโปรแกรม CELLHIFLOW จะได้ลักษณะการกระจายค่ามัคคัมเบอร์ดังแสดงในรูปที่ 6.13 (ข)

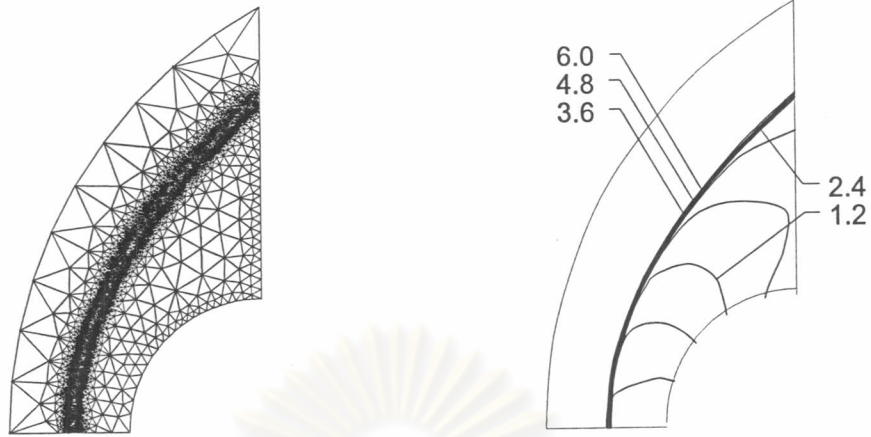


(ก) รูปแบบไฟไนต์เอลิเมนต์เริ่มต้น

(ข) เส้นชั้นแสดงค่ามัคคัมเบอร์

รูปที่ 6.13 รูปแบบไฟไนต์เอลิเมนต์เริ่มต้นและการกระจายค่ามัคคัมเบอร์ของของไหลสำหรับปัญหาการไหลแบบไม่หนืดด้วยความเร็วสูงกว่าเสียง 6.47 เท่าผ่านทรงกระบอก

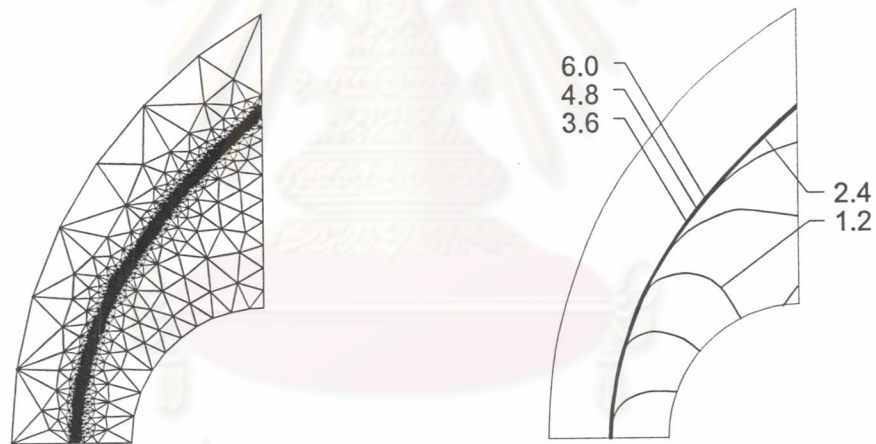
จากนั้นนำค่าความหนาแน่นที่ได้ไปใช้ในการคำนวณหาขนาดของเอลิเมนต์ด้วยโปรแกรม SPACE และเรียกใช้โปรแกรม BUILT ทำให้ได้รูปแบบไฟไนต์เอลิเมนต์ใหม่ครั้งหนึ่ง ขนาด 7,635 เอลิเมนต์ 3,861 จุดต่อ ดังแสดงในรูปที่ 6.14 (ก) ซึ่งจะมีการจัดเรียงตัวของเอลิเมนต์ขนาดเล็กตลอดแนวคลื่นช็อคโค้ง และรูปที่ 6.14 (ข) เป็นลักษณะเส้นชั้นของค่ามัคคัมเบอร์ที่คำนวณได้จากโปรแกรม CELLHIFLOW พบว่าคลื่นช็อคโค้งบางลง จึงได้ทำการปรับขนาดเอลิเมนต์ของทั้งโดเมนการไหลใหม่อีกครั้งหนึ่ง ด้วยกระบวนการเหมือนเดิมและใช้ค่าความหนาแน่นที่คำนวณได้ครั้งล่าสุด ทำให้ได้ลักษณะการจัดเรียงตัวของเอลิเมนต์ขนาดเล็กอย่างหนาแน่นบริเวณตลอดแนวช็อคโค้ง ดังแสดงในรูปที่ 6.15 (ก) เป็นรูปแบบไฟไนต์เอลิเมนต์ใหม่ครั้งที่สองที่ประกอบด้วยเอลิเมนต์สามเหลี่ยมจำนวน 7,373 เอลิเมนต์ 3,712 จุดต่อ และผลลัพธ์ที่คำนวณใหม่ด้วยโปรแกรม CELLHIFLOW ทำให้ได้ลักษณะการกระจายของค่ามัคคัมเบอร์ดังแสดงในรูปที่ 6.15 (ข)



(ก) รูปแบบไฟไนต์เอลิเมนต์ใหม่ครั้งที่หนึ่ง

(ข) เส้นชั้นแสดงค่ามอดินัมเบอร์

รูปที่ 6.14 รูปแบบไฟไนต์เอลิเมนต์ครั้งที่หนึ่งและการกระจายค่ามอดินัมเบอร์ของของไหล  
สำหรับปัญหาการไหลแบบไม่หนืดด้วยความเร็วที่เสียง 6.47 เท่าผ่านทรงกระบอก

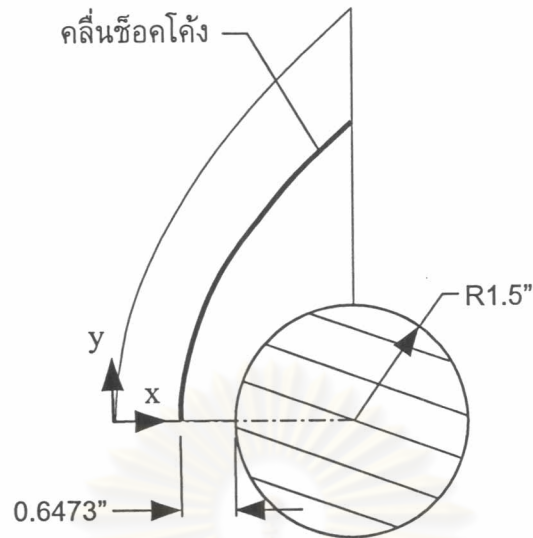


(ก) รูปแบบไฟไนต์เอลิเมนต์ใหม่ครั้งที่สอง

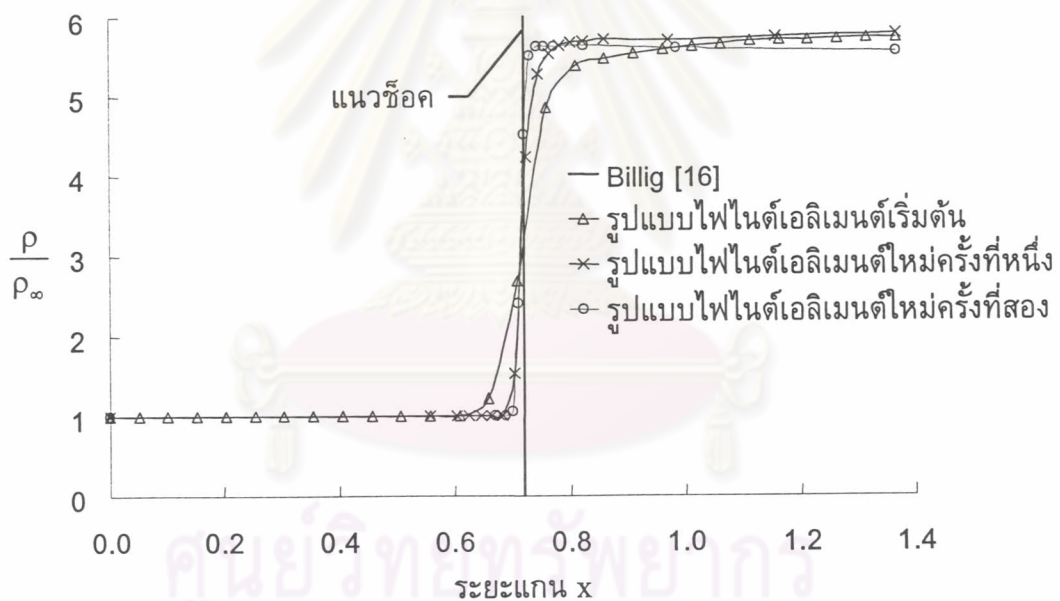
(ข) เส้นชั้นแสดงค่ามอดินัมเบอร์

รูปที่ 6.15 รูปแบบไฟไนต์เอลิเมนต์ครั้งที่สองและการกระจายค่ามอดินัมเบอร์ของของไหล  
สำหรับปัญหาการไหลแบบไม่หนืดด้วยความเร็วที่เสียง 6.47 เท่าผ่านทรงกระบอก

จากนั้นสมการ (6.6) สามารถหาแนวคลื่นช็อคได้ดังแสดงในรูปที่ 6.16 และสมการ (6.4) สามารถคำนวณหาระยะห่างของแนวช็อคโค้งจากผิวทรงกระบอกเท่ากับ 0.6473 นิ้ว แล้วนำค่าความหนาแน่นที่คำนวณได้จากรูปแบบไฟไนต์เอลิเมนต์ทั้งสามมาพล็อตเปรียบเทียบ จะได้ผลดังแสดงในรูปที่ 6.17



รูปที่ 6.16 แนวคลื่นช็อกของปัญหาการไหลผ่านทรงกระบอกด้วยความเร็วสูงกว่าเสียง 6.47 เท่า

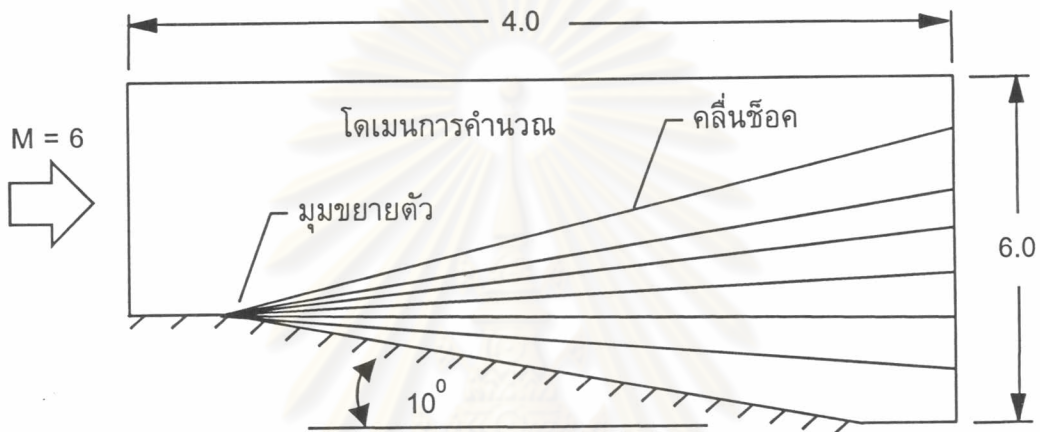


รูปที่ 6.17 กราฟความสัมพันธ์ระหว่างความหนาแน่นกับระยะ x ของของไหลความเร็วสูงกว่าเสียง 6.47 เท่าไหลผ่านทรงกระบอก

จากการประยุกต์เทคนิคการปรับขนาดเอลิเมนต์โดยอัตโนมัติร่วมกับโปรแกรมวิเคราะห์การไหลความเร็วสูง CELLIFLOW พบว่าผลลัพธ์ที่คำนวณได้จะมีความแม่นยำมากขึ้น ในขณะที่จำนวนตัวไม่รู้ค่าของแต่ละรูปแบบไฟไนต์เอลิเมนต์มีขนาดใกล้เคียงกัน ทำให้ประหยัดเวลาและหน่วยความจำของเครื่องคอมพิวเตอร์ไปได้มาก

### 6.1.3 การขยายตัวจากการไหลความเร็วสูงแบบไม่หนืดผ่านพื้นเอียง

ลักษณะปัญหาเป็นการไหลของของไหลความเร็วสูงกว่าเสียง 6 เท่าเข้ามาทางด้านซ้ายของโดเมนการไหลและขนานกับแนวระดับ จากนั้นจึงไหลผ่านมุมขยายตัวที่พื้นที่หน้าตัดมีการขยายกว้างออกมากขึ้นด้วยมุม 10 องศา ดังแสดงในรูปที่ 6.18 เป็นผลให้คุณสมบัติของของไหลเปลี่ยนแปลงไป เช่น ค่ามัคคัมเบอร์มีค่าสูงขึ้น ความหนาแน่น ความดันและอุณหภูมิมีค่าลดลง เป็นต้น รวมทั้งมุมของคลื่นช็อกเมื่อเทียบกับแนวระดับมีค่าลดลงเช่นกัน คุณสมบัติของของไหลด้านขาเข้าคือ  $\rho = 1.0$ ,  $u = 1.0$ ,  $v = 0$ ,  $\varepsilon = 0.553$  และ  $\gamma = 1.38$



รูปที่ 6.18 ปัญหาการขยายตัวจากการไหลความเร็วสูงแบบไม่หนืดผ่านพื้นเอียง

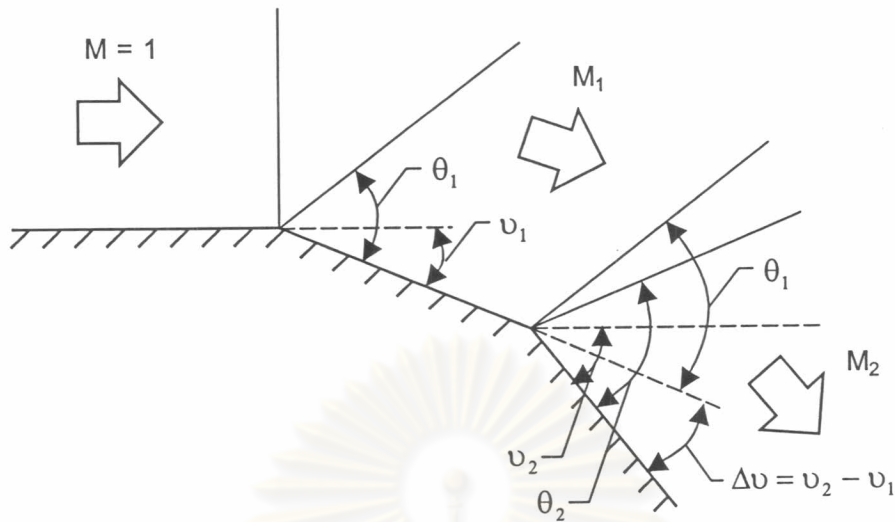
ลักษณะการไหลเกิดการขยายตัวและอยู่ในรูปแบบการไหลแบบไอเซนโทรปิก การหาคุณสมบัติของของไหลและมุมของคลื่นช็อกด้านหลังช็อกสามารถหาได้โดยเริ่มจากความสัมพันธ์ของมุมของพื้นผิวกับค่ามัคคัมเบอร์ดังนี้ [18]

$$v_2 - v_1 = \left[ \frac{\gamma + 1}{\gamma - 1} \tan^{-1} \sqrt{\frac{\gamma - 1}{\gamma + 1} (M^2 - 1)} - \tan^{-1} \sqrt{M^2 - 1} \right] \Bigg|_{M_1}^{M_2} \quad (6.7)$$

โดยตัวห้อย 1 คือสภาวะการไหลด้านหน้าแนวช็อก ตัวห้อย 2 คือสภาวะการไหลด้านหลังแนวช็อก  $v$  คือมุมที่แตกต่างระหว่างพื้นด้านหน้าและหลังแนวช็อก  $\gamma$  คืออัตราส่วนของค่าความร้อนจำเพาะที่ความดันและปริมาตรคงที่  $M$  คือค่ามัคคัมเบอร์ ดังแสดงในรูปที่ 6.19

และมุมของแนวคลื่นช็อก  $\theta$  สามารถหาได้จากฟังก์ชันอดิตัยของค่ามัคคัมเบอร์ดังนี้

$$\theta = \sin^{-1} \frac{1}{M} \quad (6.8)$$



รูปที่ 6.19 ลักษณะการไหลความเร็วสูงแบบขยายตัว

สำหรับปัญหาการไหลความเร็วสูงกว่าเสียง 6 เท่า จะกำหนดให้  $M_1 = 6$  เมื่อแทน  $M = 1$  ในสมการ (6.7) และ (6.8) ทำให้ได้

$$v_1 - 0 = \left[ \sqrt{\frac{1.38+1}{1.38-1}} \tan^{-1} \sqrt{\frac{1.38-1}{1.38+1}} (6^2 - 1) - \tan^{-1} \sqrt{6^2 - 1} \right]$$

$$v_1 = 87.4469$$

$$\theta_1 = \sin^{-1} \frac{1}{6} = 9.594$$

จากรูปที่ 6.18 จะมีค่า  $\Delta v$  เท่ากับ 10 องศา ดังนั้น

$$v_2 = v_1 + \Delta v$$

$$= 87.4469 + 10 = 97.4469$$

แทนค่า  $v_2$  ลงในสมการ (6.7) เทียบกับค่ามัคคัมเบอร์ 1 ดังนั้น

$$97.4469 = \left[ \sqrt{\frac{1.38+1}{1.38-1}} \tan^{-1} \sqrt{\frac{1.38-1}{1.38+1}} (M_2^2 - 1) - \tan^{-1} \sqrt{M_2^2 - 1} \right] \quad (6.9)$$

ทำการหารากของสมการ (6.9) โดยใช้ระเบียบวิธีแบ่งครึ่งช่วง ทำให้ได้

$$M_2 = 7.73638 \quad (6.10)$$

และเมื่อแทน  $M_2$  ในสมการ (6.8) จะได้

$$\theta_2 = 7.4268$$

ดังนั้นช่วงมุมที่เกิดคลื่นช็อกขยายตัวจะเท่ากับ

$$\theta_1 + \Delta v - \theta_2 = 12.1672 \text{ องศา} \quad (6.11)$$

สำหรับความหนาแน่นหลังคลื่นช็อกจะหาจาก

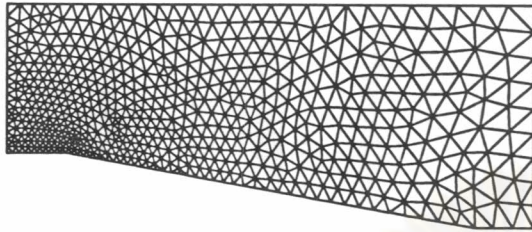
$$\begin{aligned} \rho_2 &= \frac{\rho_2}{\rho_0} \frac{\rho_0}{\rho_1} \rho_1 \\ &= \frac{1.6833E-03}{5.1936E-03} (1) = 0.324 \end{aligned} \quad (6.12)$$

โดยอัตราส่วนความหนาแน่นสามารถหาได้จากตารางคุณสมบัติการไหลแบบไอโซโทรปิก [18]

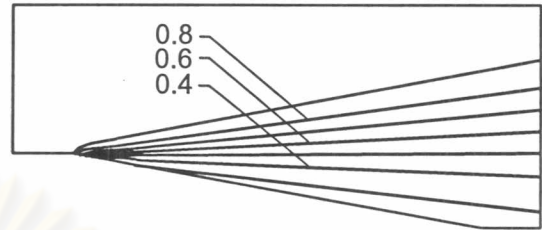
การวิเคราะห์หาการกระจายของความหนาแน่นทั้งโดเมนการไหลจะประยุกต์ใช้โปรแกรม CELLHIFLOW ร่วมกับเทคนิคการปรับขนาดเอลิเมนต์โดยอัตโนมัติ โดยเริ่มจากการสร้างรูปแบบเอลิเมนต์เริ่มต้นขนาด 1,131 เอลิเมนต์ 621 จุดต่อ ดังในรูปที่ 6.20 (ก) จากนั้นคำนวณหาผลลัพธ์ด้วยโปรแกรม CELLHIFLOW ทำให้ได้ลักษณะการกระจายของความหนาแน่นแสดงในรูปที่ 6.20 (ข) พบว่าแนวคลื่นช็อกขยายตัวค่อนข้างกว้าง โดยเฉพาะอย่างยิ่งบริเวณมุมขยายตัวควรจะต้องมีเอลิเมนต์ขนาดเล็กอยู่ เพื่อให้ผลลัพธ์ที่ได้ในบริเวณนี้มีความแม่นยำมากยิ่งขึ้น เนื่องจากมีผลต่อเส้นแนวช็อกและค่าตอปที่อยู่ด้านหลังมุมขยายตัวทั้งหมด ดังนั้นจึงเรียกใช้โปรแกรม SPACE ร่วมกับค่าความหนาแน่นที่คำนวณได้ ทำให้ได้ขนาดเอลิเมนต์และทิศทางการวางตัวของเอลิเมนต์ และนำค่าที่ได้มาทำการสร้างรูปแบบไฟไนต์เอลิเมนต์ใหม่ครั้งที่หนึ่ง ดังในรูปที่ 6.21 (ก) ประกอบด้วยเอลิเมนต์สามเหลี่ยมจำนวน 990 เอลิเมนต์ 548 จุดต่อ พบว่ามีการแบ่งเอลิเมนต์ขนาดเล็กลงในบริเวณมุมขยายตัว เมื่อทำการหาผลลัพธ์ด้วยโปรแกรม CELLHIFLOW จะได้ลักษณะเส้นชั้นความหนาแน่นดังในรูปที่ 6.21 (ข) พบว่าแนวคลื่นช็อกที่ได้บริเวณมุมขยายตัวมีแนวตรงมากขึ้น จากนั้นทำกระบวนการเดิมอีกครั้งด้วยการใช้ค่าความหนาแน่นที่คำนวณได้ล่าสุด และเมื่อทำการประยุกต์ใช้เทคนิคการปรับขนาดเอลิเมนต์โดยอัตโนมัติ จะได้รูปแบบไฟไนต์เอลิเมนต์ใหม่ครั้งที่สองขนาด 1,071 เอลิเมนต์ 565 จุดต่อ ดังในรูปที่ 6.22 (ก) บริเวณมุมขยายตัวมีการแบ่งเอลิเมนต์ขนาดเล็กอย่างหนาแน่น และ



เมื่อใช้โปรแกรม CELLHIFLOW ทำการคำนวณหาผลลัพธ์ที่เกิดขึ้น จะได้ลักษณะเส้นชั้นความหนาแน่น ดังในรูปที่ 6.22 (ข) พบว่าแนวคลื่นช็อคมีแนวตรงทั้งโดเมนการคำนวณ

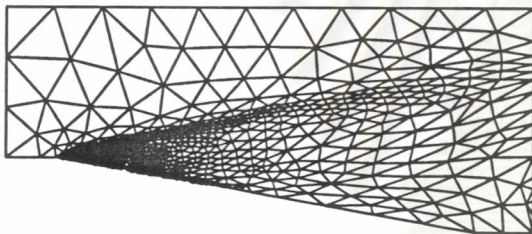


(ก) รูปแบบไฟไนต์เอลิเมนต์เริ่มต้น

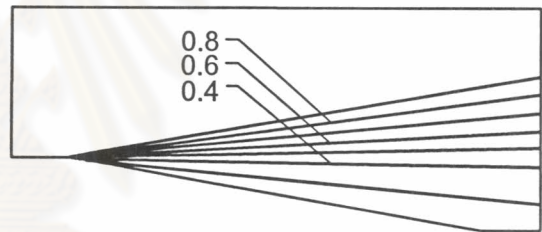


(ข) เส้นชั้นแสดงความหนาแน่น

รูปที่ 6.20 รูปแบบไฟไนต์เอลิเมนต์เริ่มต้นและการกระจายความหนาแน่นของของไหล สำหรับปัญหาการขยายตัวจากการไหลความเร็วสูงแบบไม่หนืดผ่านพื้นเอียง

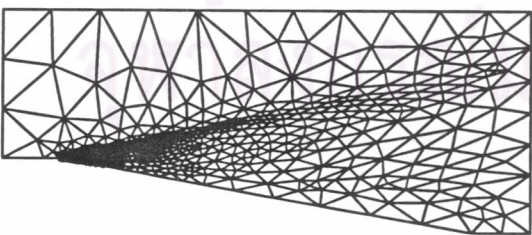


(ก) รูปแบบไฟไนต์เอลิเมนต์ใหม่ครั้งที่หนึ่ง

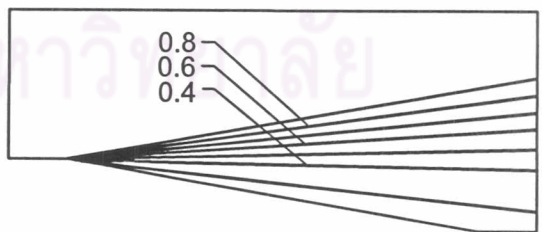


(ข) เส้นชั้นแสดงความหนาแน่น

รูปที่ 6.21 รูปแบบไฟไนต์เอลิเมนต์ใหม่ครั้งที่หนึ่งและการกระจายความหนาแน่นของของไหล สำหรับปัญหาการขยายตัวจากการไหลความเร็วสูงแบบไม่หนืดผ่านพื้นเอียง



(ก) รูปแบบไฟไนต์เอลิเมนต์ใหม่ครั้งที่สอง



(ข) เส้นชั้นแสดงความหนาแน่น

รูปที่ 6.22 รูปแบบไฟไนต์เอลิเมนต์ใหม่ครั้งที่สองและการกระจายความหนาแน่นของของไหล สำหรับปัญหาการขยายตัวจากการไหลความเร็วสูงแบบไม่หนืดผ่านพื้นเอียง

ผลการคำนวณที่ได้จากรูปแบบไฟไนต์เอลิเมนต์ใหม่ครั้งที่สองพบว่าบริเวณด้านหลังแนวข้อคขยายตัวมีค่ามอดูลัสเบอร์เท่ากับ 7.553 และค่าความหนาแน่นมีค่าเท่ากับ 0.3175 ซึ่งมีค่าใกล้เคียงกับผลการคำนวณในสมการ (6.10) และ (6.12)

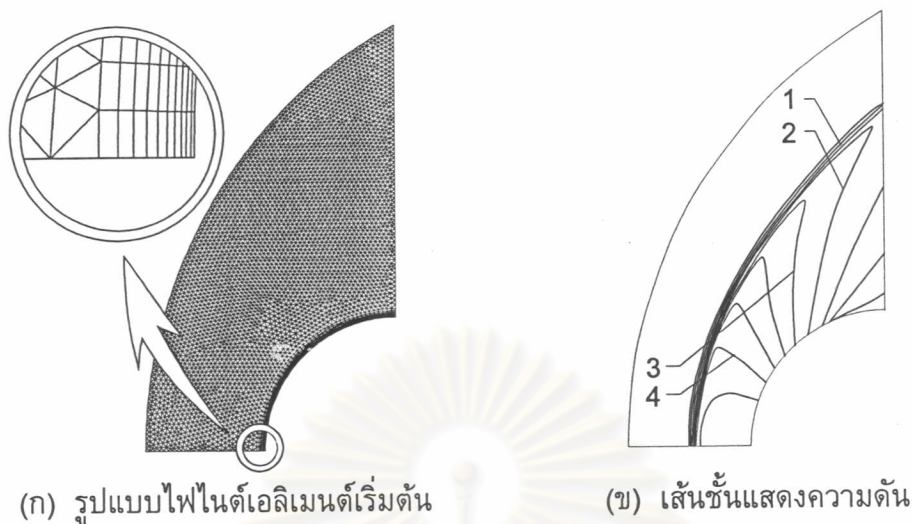
#### 6.1.4 การไหลความเร็วสูงแบบหนืดผ่านผิวโค้ง

ตัวอย่างนี้เป็นการขยายผลต่อจากปัญหาในหัวข้อ 6.1.2 โดยพฤติกรรมกรไหลที่เกิดขึ้นจะมีความซับซ้อนมากยิ่งขึ้นเนื่องจากลักษณะการไหลได้รวมผลของความหนืดร่วมด้วยทำให้เกิดการถ่ายเทความร้อนและความดันทางพลศาสตร์จากของไหลสู่โครงสร้างของผนังทรงกระบอก ดังนั้นผลการคำนวณที่เกิดขึ้นนอกจากจะพิจารณาตำแหน่งแนวข้อโค้งต้องถูกต้องแล้ว ยังรวมไปถึงปริมาณความร้อนและความดันตลอดผิวทรงกระบอกที่ต้องมีความแม่นยำด้วยเช่นเดียวกัน ของไหลไหลเข้ามาทางซ้ายด้วยความเร็วเหนือกว่าเสียง 6.47 เท่า มีค่าความหนาแน่น  $\rho = 0.84768698E-9 \text{ lb}_f \cdot \text{sec}^2 / \text{in}^4$ ,  $u = 0.80088E+5 \text{ in/sec}$ ,  $v = 0$ ,  $\varepsilon = 0.349923E+10 \text{ in}^2 / \text{sec}^2$  และกำหนดให้ผิวโค้งมีค่าพลังงานรวม  $\varepsilon_w = 0.356246E+9 \text{ in}^2 / \text{sec}^2$  ส่วนคุณสมบัติอื่น ๆ ของของไหลที่ใช้รวมในการคำนวณหาพฤติกรรมกรไหล ได้แก่ ค่าอุณหภูมิ  $T_\infty = 434.7 \text{ R}$  ค่าอัตราส่วนความร้อนจำเพาะ  $\gamma = 1.38$  ค่าพรันด์เทิลนัมเบอร์  $Pr = 0.72$  และค่าความหนืดพลศาสตร์ซึ่งคำนวณมาจากกฎของซัทเทอร์แลนด์

$$\mu = \mu_0 \left( \frac{T}{T_0} \right)^{1.5} \frac{T_0 + S}{T + S} \quad (6.13)$$

โดย  $\mu_0 = 2.48653E-9 \text{ lb}_f \cdot \text{s/in}^2$ ;  $T_0 = 491.6 \text{ R}$ ; และ  $S = 199 \text{ R}$

การวิเคราะห์ปัญหาจะใช้ระเบียบวิธีอัปวินด์เซลเซนเตอร์ร่วมกับเทคนิคการปรับขนาดเอลิเมนต์โดยอัตโนมัติ โดยเริ่มจากการสร้างรูปแบบไฟไนต์เอลิเมนต์ที่ประกอบด้วยเอลิเมนต์สี่เหลี่ยมจำนวน 10 ชั้นในบริเวณใกล้กับผิวของทรงกระบอก เพื่อสามารถเห็นการเปลี่ยนแปลงของผลลัพธ์ที่เกิดขึ้นในขอบชั้น (boundary layer) ส่วนบริเวณอื่นยังคงใช้เอลิเมนต์สามเหลี่ยมเหมือนเดิม ซึ่งรูปแบบไฟไนต์เอลิเมนต์เริ่มต้นประกอบด้วยเอลิเมนต์สามเหลี่ยมจำนวน 7,270 เอลิเมนต์ และเอลิเมนต์สี่เหลี่ยมจำนวน 500 เอลิเมนต์ ด้วยจุดต่อจำนวน 4,274 จุด ดังแสดงในรูปที่ 6.23 (ก) จากนั้นเรียกใช้โปรแกรม CELLHIFLOW ทำการคำนวณหาผลลัพธ์ ทำให้ได้ลักษณะการกระจายความดัน ดังแสดงในรูปที่ 6.23 (ข)

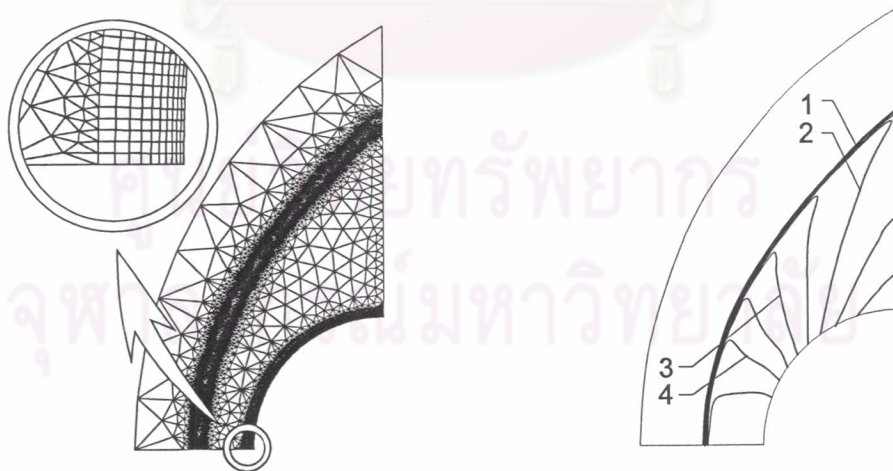


(ก) รูปแบบไฟไนต์เอลิเมนต์เริ่มต้น

(ข) เส้นชั้นแสดงความดัน

รูปที่ 6.23 รูปแบบไฟไนต์เอลิเมนต์เริ่มต้นและการกระจายความดันของของไหล  
สำหรับปัญหาการไหลความเร็วสูงแบบหนืดผ่านผิวโค้ง

จากนั้นประยุกต์เทคนิคการปรับขนาดเอลิเมนต์โดยอัตโนมัติร่วมกับค่าความหนาแน่นของจุดต่อ ทำให้ได้รูปแบบไฟไนต์เอลิเมนต์ใหม่ครั้งที่หนึ่ง ดังแสดงในรูปที่ 6.24 (ก) ประกอบด้วยเอลิเมนต์สามเหลี่ยม 7,725 เอลิเมนต์ และเอลิเมนต์สี่เหลี่ยม 1,860 เอลิเมนต์ 5,857 จุดต่อ และเมื่อคำนวณหาพฤติกรรมกรไหลด้วยโปรแกรม CELLHIFLOW จะได้ลักษณะการกระจายความดันดังแสดงในรูปที่ 6.24 (ข) พบว่าแนวคลื่นช็อคบางลง



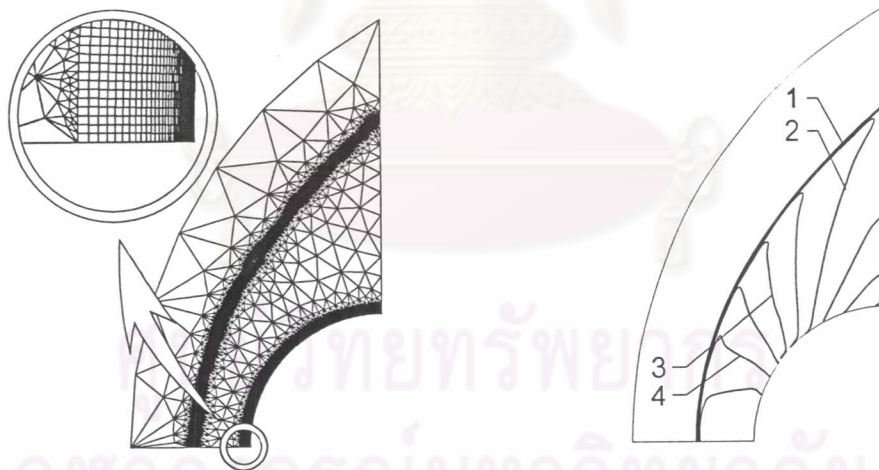
(ก) รูปแบบไฟไนต์เอลิเมนต์ใหม่ครั้งที่หนึ่ง

(ข) เส้นชั้นแสดงความดัน

รูปที่ 6.24 รูปแบบไฟไนต์เอลิเมนต์ใหม่ครั้งที่หนึ่งและการกระจายความดันของของไหล  
สำหรับปัญหาการไหลความเร็วสูงแบบหนืดผ่านผิวโค้ง

ทำกระบวนการเดิมอีกครั้งจะได้รูปแบบไฟไนต์เอลิเมนต์ที่มีการปรับขนาดใหม่ครั้งที่สอง จะเห็นว่ามีโครงสร้างเอลิเมนต์ขนาดเล็กตลอดแนวคลื่นช็อค ซึ่งทั้งโดเมนมีเอลิเมนต์สามเหลี่ยม 10,143 เอลิเมนต์และแบ่งเอลิเมนต์สี่เหลี่ยมจำนวน 40 ชั้นบริเวณใกล้กับผนังทรงกระบอกจำนวน 13,400 เอลิเมนต์ 18,702 จุดต่อ ดังแสดงในรูปที่ 6.25 (ก) และเมื่อทำการคำนวณด้วยโปรแกรม CELLHIFLOW พบว่าแนวเส้นช็อคมีความบางมาก ดังในรูปที่ 6.25 (ข) แสดงการกระจายของค่าความดัน และเมื่อทำการเปรียบเทียบผลการคำนวณที่ได้จากรูปแบบไฟไนต์เอลิเมนต์ใหม่ครั้งที่สองกับผลการทดลอง พบว่ามีค่าใกล้เคียงทั้งปริมาณความร้อนทางพลศาสตร์ และความดันที่กระทำกับผิวทรงกระบอกที่กระทำกับผิวทรงกระบอก ดังแสดงในรูปที่ 6.26 และ 6.27 ตามลำดับ

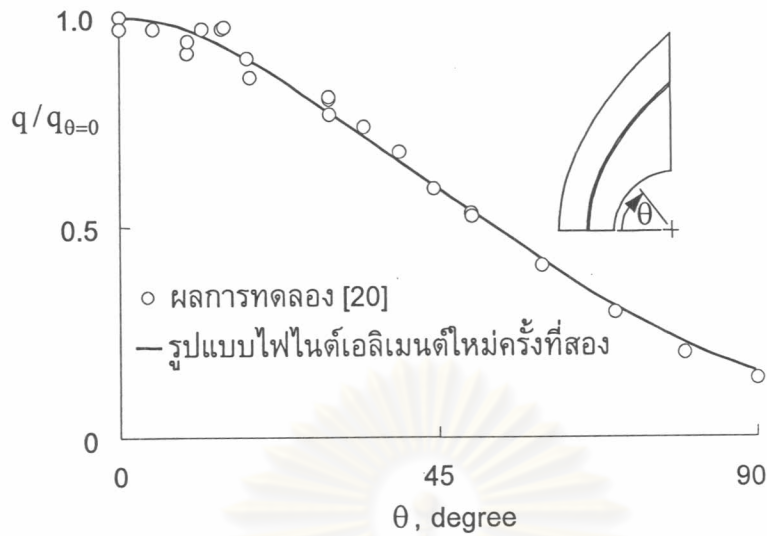
ผลลัพธ์ที่ได้จากตัวอย่างนี้บ่งชี้ถึงความน่าเชื่อถือของคำตอบที่ได้จากการประยุกต์ใช้ระเบียบวิธีอัปวินด์เซลเซนเตอร์ร่วมกับเทคนิคการปรับขนาดเอลิเมนต์โดยอัตโนมัติ รวมไปถึงการใช้เอลิเมนต์สี่เหลี่ยมขนาดเล็กบริเวณใกล้กับผนังเพื่อให้สามารถได้ค่าความดันและปริมาณความร้อนทางพลศาสตร์ที่กระทำกับผนังได้อย่างถูกต้อง



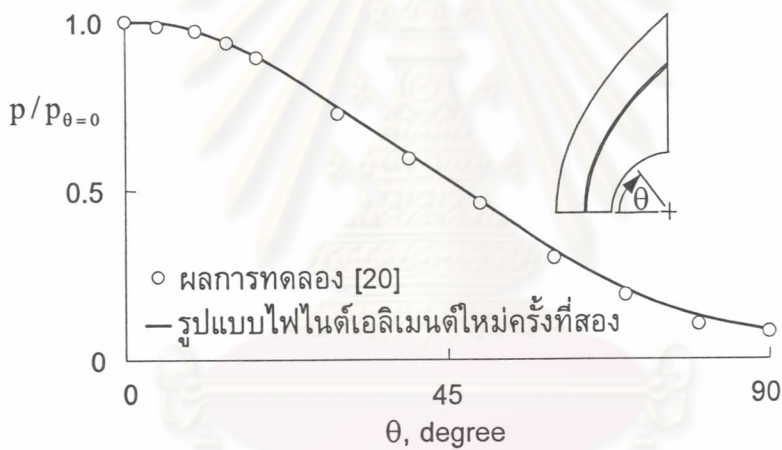
(ก) รูปแบบไฟไนต์เอลิเมนต์ใหม่ครั้งที่สอง

(ข) เส้นชั้นแสดงความดัน

รูปที่ 6.25 รูปแบบไฟไนต์เอลิเมนต์ใหม่ครั้งที่สองและการกระจายความดันของของไหลสำหรับปัญหาการไหลความเร็วสูงแบบหนีดผ่านผิวโค้ง



รูปที่ 6.26 การกระจายของความร้อนทางพลศาสตร์ที่กระทำกับผิวทรงกระบอก

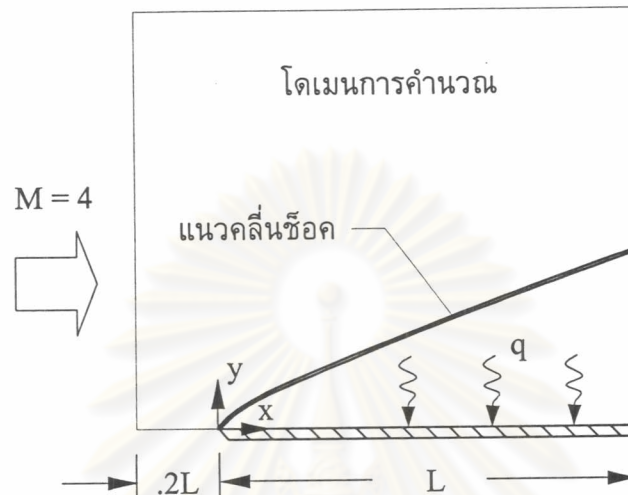


รูปที่ 6.27 การกระจายความดันของของไหลบนผิวทรงกระบอก

### 6.1.5 การไหลความเร็วสูงแบบหนืดผ่านแผ่นเรียบปลายแหลม

ปัญหานี้เป็นปัญหาการไหลแบบหนืดอีกตัวอย่างหนึ่งที่ใช้ในการตรวจสอบความถูกต้องได้เป็นอย่างดี โดยเปรียบเทียบผลการคำนวณที่ได้กับระเบียบวิธีผลต่างสืบเนื่อง [1] ลักษณะปัญหาเป็นการไหลความเร็วสูงกว่าเสียง 4 เท่าไหลเข้ามาทางด้านซ้ายของโดเมนการไหล กระแทกกับปลายแหลมของแผ่นเรียบ ซึ่งของไหลบริเวณดังกล่าวจะถูกลดความเร็วลงเนื่องจากอิทธิพลของความหนืด ทำให้ของไหลที่ตามมาเห็นอนุภาคของไหลดังกล่าวกลายเป็นส่วนโค้งเล็ก ๆ ของวัตถุแทน ก่อให้เกิดปรากฏการณ์ของคลื่นช็อคโค้ง ดังแสดงในรูปที่ 6.28 ความซับซ้อนของการไหลจึงเกิดขึ้นระหว่างคลื่นช็อคโค้งและพื้นแผ่นเรียบหรือที่เรียกว่าชั้นช็อค (shock layer)

คลื่นช็อกคั้งและคุณสมบัติอื่น ๆ ของของไหลจะเกิดการเปลี่ยนแปลงมากในบริเวณปลายแหลมของแผ่นเรียบ ดังนั้นถ้าบริเวณดังกล่าวมีเอลิเมนต์ขนาดเล็กอยู่หนาแน่นก็จะทำให้มีผลกับความแม่นยำของผลลัพธ์ที่ได้จากการคำนวณ

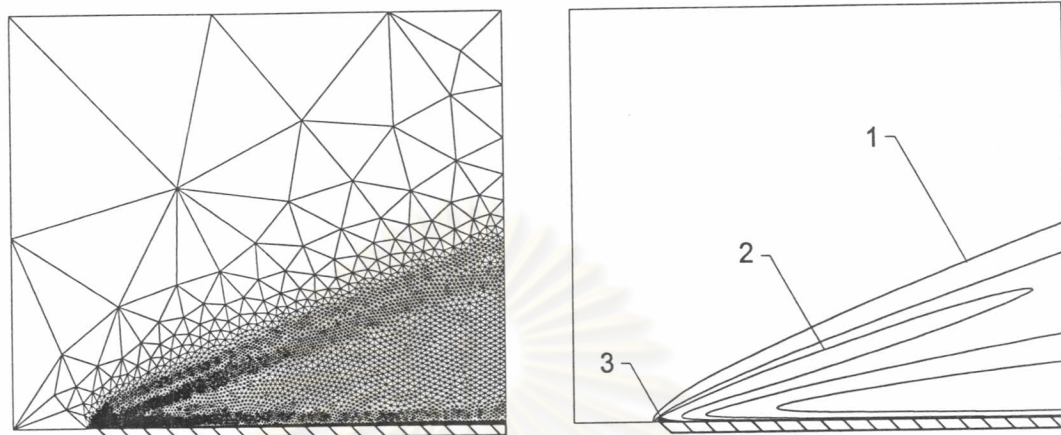


รูปที่ 6.28 การไหลความเร็วสูงผ่านแผ่นเรียบปลายแหลม

ในการแก้ปัญหานี้จะกำหนดให้แผ่นเรียบมีความยาว  $L = 0.00001$  เมตร โดยการไหลผ่านเข้ามาทางซ้ายของโดเมนการไหลด้วยค่ามัคคัมเบอร์  $M = 4$  ค่าความหนาแน่น  $\rho = 1.2252 \text{ kg/m}^3$ ; ค่าความเร็ว  $u = 1,361.12 \text{ m/sec}$ ;  $v = 0$ , ค่าพลังงานรวม  $\epsilon = 1,133.080 \text{ J/kg}$  และกำหนดให้ผิวแผ่นเรียบมีค่าพลังงานรวม  $\epsilon_w = 206.754.8 \text{ J/kg}$  ส่วนคุณสมบัติอื่น ๆ ของของไหลที่ใช้ร่วมในการคำนวณหาพฤติกรรมของการไหล ได้แก่ ค่าอุณหภูมิ  $T_\infty = 288.16 \text{ K}$ ; ค่าแพรนด์เทิลนัมเบอร์  $Pr = 0.71$ ; ค่าคงตัวสากลของแก๊ส  $R = 287 \text{ J/kg-K}$  และค่าความหนืดพลศาสตร์คำนวณจากสมการ (6.13) โดย  $\mu_o = 1.7894E-5 \text{ kg/m-s}$ ;  $T_o = 288.16 \text{ K}$  และ  $S = 110 \text{ K}$

กระบวนการแก้ปัญหานี้ได้ใช้เหมือนกับตัวอย่างอื่นที่ผ่านมามีคือ ประยุกต์ระเบียบวิธีอัปวินด์เซลเซนเตอร์ร่วมกับเทคนิคการปรับขนาดเอลิเมนต์โดยอัตโนมัติ และแบ่งโดเมนบริเวณใกล้กับผนังแผ่นเรียบเป็นเอลิเมนต์สี่เหลี่ยมเพื่อสามารถเห็นการเปลี่ยนแปลงของผลลัพธ์ที่เกิดขึ้นในขอบชั้น (boundary layer) เมื่อทำการประยุกต์กระบวนการดังกล่าว 2 รอบทำให้ได้รูปแบบไฟไนต์เอลิเมนต์ใหม่ครั้งที่สอง ประกอบด้วยเอลิเมนต์สามเหลี่ยมจำนวน 10,353 เอลิเมนต์และเอลิเมนต์สี่เหลี่ยม 4,011 เอลิเมนต์ ส่วนจุดต่อทั้งหมดมี 9,342 จุดต่อ ดังแสดงในรูปที่ 6.29 (ก) และเส้นชั้นแสดงความหนาแน่นของผลลัพธ์แสดงในรูปที่ 6.29 (ข) จากนั้นทำการพล็อตค่าความเร็ว  $u$  กับระยะในแนว  $y$  บนขอบด้านขวาสุดของโดเมนการไหล ดังแสดงในรูปที่ 6.30 ลักษณะการกระจายของความเร็ว  $u(y)$  ที่ได้แสดงให้เห็นถึงขอบชั้นบางที่เกิดขึ้นติด

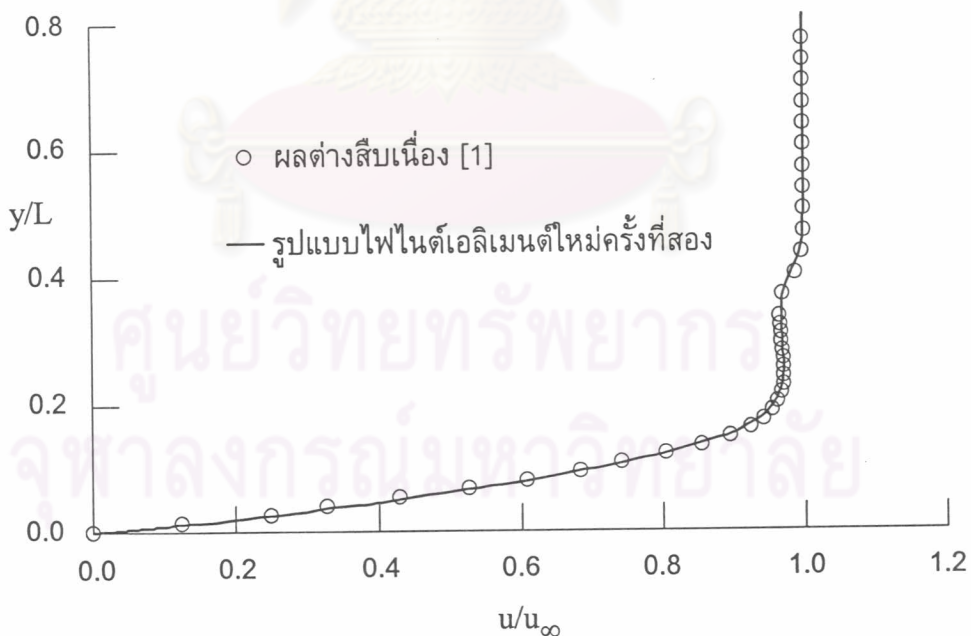
กับผนังเรียบ และค่าที่ได้มีค่าใกล้เคียงกับผลลัพธ์ที่คำนวณได้จากระเบียบวิธีผลต่างแบบสี่เหลี่ยม [1]



(ก) รูปแบบไฟไนต์เอลิเมนต์ใหม่ครั้งที่สอง

(ข) เส้นชั้นแสดงความหนาแน่น

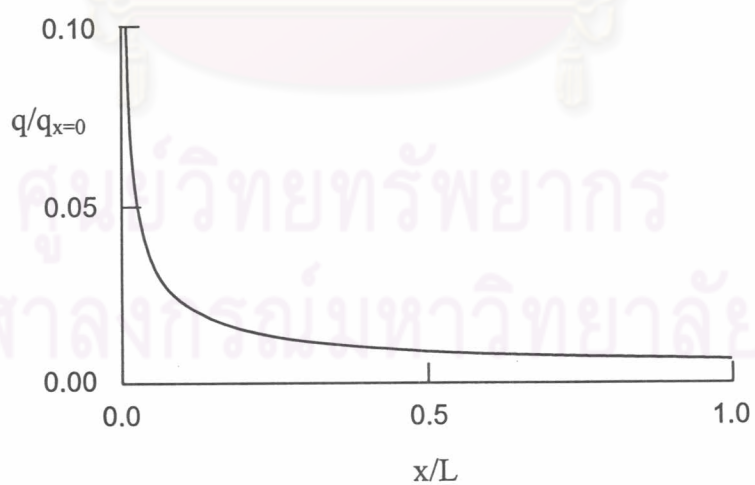
รูปที่ 6.29 รูปแบบไฟไนต์เอลิเมนต์ใหม่ครั้งที่สองและการกระจายความหนาแน่นของของไหล สำหรับปัญหาการไหลความเร็วสูงผ่านแผ่นเรียบปลายแหลม



รูปที่ 6.30 การกระจายความเร็วตลอดขอบเขตด้านหน้าการไหลออก สำหรับปัญหาการไหลความเร็วสูงผ่านแผ่นเรียบปลายแหลม



รูปที่ 6.31 การกระจายอุณหภูมิตลอดขอบเขตด้านกรไหลออก  
สำหรับปัญหาการไหลความเร็วสูงผ่านแผ่นเรียบปลายแหลม



รูปที่ 6.32 ปริมาณความร้อนตามแนวยาวของแผ่นเรียบสำหรับ  
ปัญหาการไหลความเร็วสูงผ่านแผ่นเรียบปลายแหลม



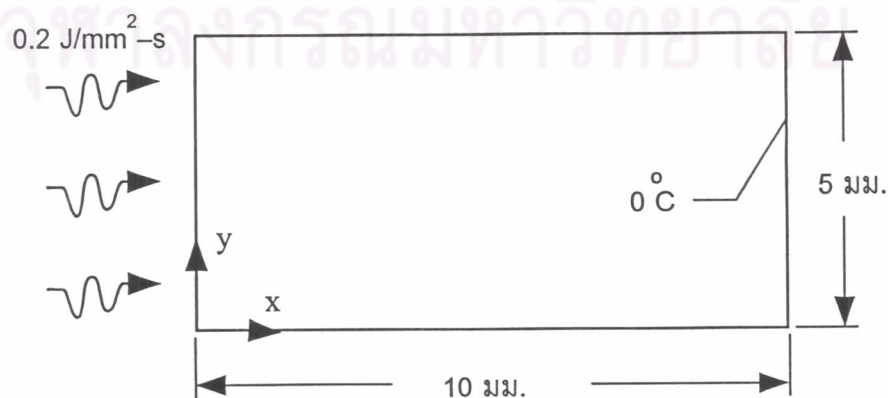
ผลลัพธ์ของค่าพลังงานรวม  $\varepsilon$  ที่คำนวณได้ตามจุดต่อต่าง ๆ ได้นำไปคำนวณหาค่าอุณหภูมิของแต่ละจุดต่อ และได้พล็อตค่าอุณหภูมิกับระยะในแนว  $y$  บนขอบด้านขวาสุดของโดเมนการไหล ดังแสดงในรูปที่ 6.31 ลักษณะของการกระจายของอุณหภูมิ  $T(y)$  ที่ได้มีความชันน้อยกว่าของค่าความเร็ว  $u(y)$  ก่อนข้างมาก โดยเฉพาะบริเวณที่ใกล้กับแผ่นเรียบภายในโดเมนของขอบชั้นบางนั้นอุณหภูมิเกิดการเปลี่ยนแปลงอย่างรวดเร็ว ทำให้ความชันของอุณหภูมิมียุคสูงซึ่งก่อให้เกิดปริมาณความร้อน (heating rate) จากของไหลลงสู่แผ่นเรียบ รูปที่ 6.32 แสดงลักษณะการกระจายของปริมาณความร้อนนี้ตลอดแนวความยาวของแผ่นเรียบซึ่งพบว่าปริมาณความร้อนที่บริเวณปลายแหลมคมของแผ่นเรียบนี้มีค่าสูงมาก ปริมาณความร้อนที่กระทำต่อแผ่นเรียบนี้จะเป็นผลทำให้ระดับอุณหภูมิของแผ่นเรียบนั้นมีค่าแตกต่างกัน อันเป็นผลต่อเนื่องต่อการโก่งตัวและความเค้นเนื่องจากความร้อน การโก่งงอเสียรูปไปของแผ่นเรียบจะมีผลกระทบย้อนกลับไปเปลี่ยนสภาวะการไหลที่เกิดขึ้นเหนือแผ่นเรียบนั้น พฤติกรรมที่เกิดขึ้นของของไหลและแผ่นเรียบเช่นนี้เป็นปัญหาที่มีการปฏิสัมพันธ์เกี่ยวข้องกันระหว่างการไหลระดับอุณหภูมิ และการเสียรูปในของแข็ง (fluid-thermal-structural interaction) ซึ่งจะได้นำเสนอต่อไปในบทที่ 7

## 6.2 ตรวจสอบโปรแกรมคอมพิวเตอร์สำหรับปัญหาการถ่ายเทความร้อนที่ขึ้นกับเวลา

โปรแกรม HEAT2DTS ที่ประดิษฐ์ขึ้นได้ถูกนำมาตรวจสอบความถูกต้องกับตัวอย่างที่ขึ้นกับเวลาและมีผลเฉลยแม่นยำตรง 2 ตัวอย่างดังนี้

### 6.2.1 แผ่นสี่เหลี่ยมที่ได้รับความร้อนจากภายนอก

ปัญหานี้ต้องการหาการกระจายของอุณหภูมิต่อเวลาต่าง ๆ ภายหลังจากที่แผ่นสี่เหลี่ยมขนาด  $10 \times 5$  ตร.มม. ได้รับความร้อนภายนอก  $0.2 \text{ J/mm}^2\text{-s}$  ทางด้านซ้าย ในขณะที่ตลอดขอบทางด้านขวามีอุณหภูมิคงที่  $0$  องศาเซลเซียส ดังแสดงในรูปที่ 6.33 แผ่นสี่เหลี่ยมมีความหนาแน่น  $\rho = 0.1 \text{ g/mm}^3$ ; ค่าความจุความร้อนจำเพาะ  $c$  เท่ากับ  $0.22 \text{ J/g-}^\circ\text{C}$ ; สัมประสิทธิ์การนำความร้อน  $k = 0.001736 \text{ W/mm-}^\circ\text{C}$



รูปที่ 6.33 แผ่นสี่เหลี่ยมได้รับความร้อนจากภายนอก

ปัญหานี้สามารถหาผลเฉลยแม่นยำได้จากวิธีแยกตัวแปร (separation of variables) [19] ดังนี้

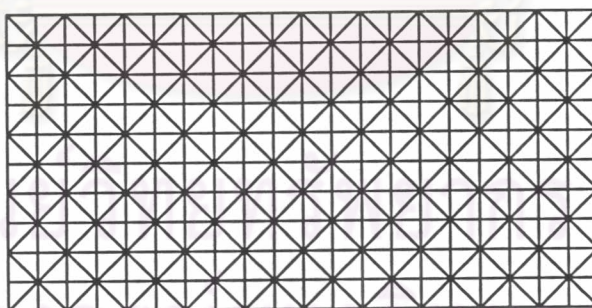
$$T(x, t) = \frac{q(L-x)}{k} - \frac{8qL}{k\pi^2} \sum_{n=0}^{\infty} \frac{(-1)^n}{(2n+1)^2} \sin \frac{(2n+1)\pi(L-x)}{2L} e^{-\frac{k}{\rho c} \left[ \frac{(2n+1)\pi}{2L} \right]^2 t} \quad (6.14)$$

โดย  $q$  คือปริมาณความร้อนจากภายนอกขนาด  $0.2 \text{ J/mm}^2\text{-s}$

$L$  คือความยาวของแผ่นสี่เหลี่ยม เท่ากับ  $10 \text{ มม.}$

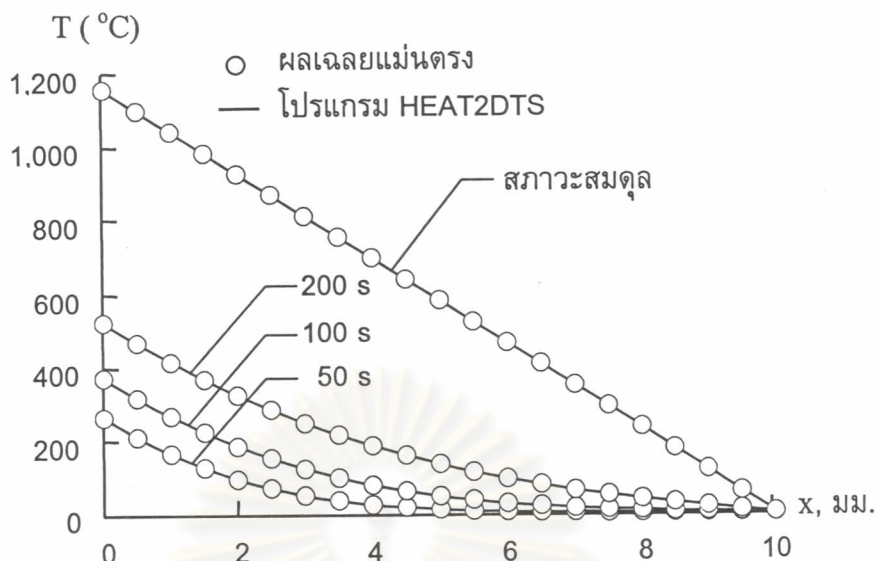
$t$  คือเวลา

การคำนวณหาการกระจายของอุณหภูมิที่เวลาต่าง ๆ ของแผ่นสี่เหลี่ยมด้วยโปรแกรม HEAT2DTS เริ่มต้นจากการแบ่งย่อยแผ่นสี่เหลี่ยมออกเป็นเอลิเมนต์สามเหลี่ยมขนาดเท่า ๆ กันจำนวน 400 เอลิเมนต์ 231 จุดต่อ ดังแสดงในรูปที่ 6.34 จากนั้นทำการประยุกต์เงื่อนไขขอบเขตคือกำหนดปริมาณความร้อนจากภายนอก  $0.2 \text{ J/mm}^2\text{-s}$  บนขอบเอลิเมนต์ที่อยู่ติดกับขอบทางด้านซ้ายทั้งหมด และกำหนดอุณหภูมิ 0 องศาเซลเซียสบนจุดต่อที่อยู่บนขอบทางด้านขวา จากนั้นกำหนดอุณหภูมิเริ่มต้น ( $t = 0 \text{ sec}$ ) ของจุดต่อทั้งหมดให้เท่ากับ 0 องศาเซลเซียส ต่อมาทำการคำนวณหาการกระจายของอุณหภูมิบนแผ่นสี่เหลี่ยมที่เวลา 50, 100, 200 วินาที และที่สภาวะสมดุล



รูปที่ 6.34 รูปแบบไฟไนต์เอลิเมนต์สำหรับปัญหาแผ่นสี่เหลี่ยมได้รับความร้อนจากภายนอก

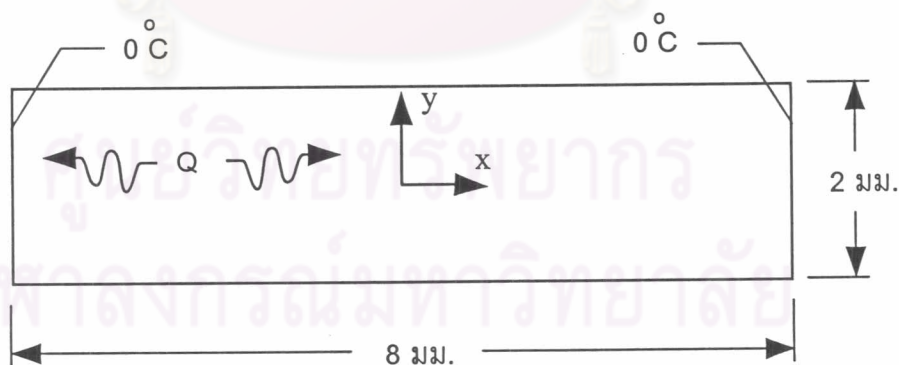
รูปที่ 6.35 เป็นการพล็อตเปรียบเทียบการกระจายของอุณหภูมิที่เวลา 50, 100, 200 วินาที และที่สภาวะสมดุลระหว่างผลลัพธ์ที่ได้จากโปรแกรม HEAT2DTS กับผลเฉลยแม่นยำที่ได้จากสมการ (6.14) จะเห็นได้ว่าผลลัพธ์ที่ได้มีความใกล้เคียงกับผลเฉลยแม่นยำ



รูปที่ 6.35 การกระจายของอุณหภูมิที่เวลา 50, 100, 200 วินาที และที่สภาวะสมดุล สำหรับปัญหาแผ่นสี่เหลี่ยมได้รับความร้อนจากภายนอก

### 6.2.2 แผ่นสี่เหลี่ยมที่ผลิตความร้อนได้เอง

ลักษณะของปัญหาคือแผ่นสี่เหลี่ยมขนาด  $8 \times 2$  ตร.มม. ตลอดขอบทั้งซ้ายและขวามีอุณหภูมิเท่ากับ  $0$  องศาเซลเซียส ภายในแผ่นสี่เหลี่ยมสามารถผลิตความร้อนได้เอง  $Q$  ขนาด  $2000 \text{ W/mm}^2$  ดังแสดงในรูปที่ 6.36 แผ่นสี่เหลี่ยมมีความหนาแน่น  $\rho = 1.0 \text{ g/mm}^3$ ; ค่าความจุความร้อนจำเพาะ  $c$  เท่ากับ  $1.0 \text{ J/g}^\circ\text{C}$ ; สัมประสิทธิ์การนำความร้อน  $k = 16.0 \text{ W/mm}^\circ\text{C}$



รูปที่ 6.36 แผ่นสี่เหลี่ยมที่ผลิตความร้อนได้เอง

ปัญหานี้หาผลเฉลยแม่นยำตรงได้จากวิธีแยกตัวแปร (separation of variables) [19] ดังนี้

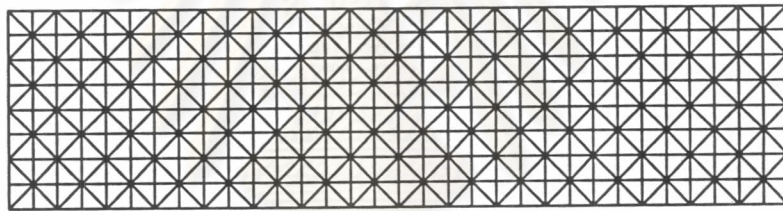
$$T(x, t) = \frac{QL^2}{2k} \left\{ 1 - \left( \frac{x}{L} \right)^2 - \frac{32}{\pi^2} \sum_{n=0}^{\infty} \frac{(-1)^n}{(2n+1)^3} \cos \left[ \frac{(2n+1)\pi x}{2L} \right] e^{-\frac{k}{\rho c} \left[ \frac{(2n+1)\pi}{2L} \right]^2 t} \right\} \quad (6.15)$$

โดย  $Q$  คือปริมาณความร้อนที่ผลิตได้เอง เท่ากับ  $2,000 \text{ W/mm}^2$

$L$  คือความยาว เท่ากับ  $4 \text{ มม.}$

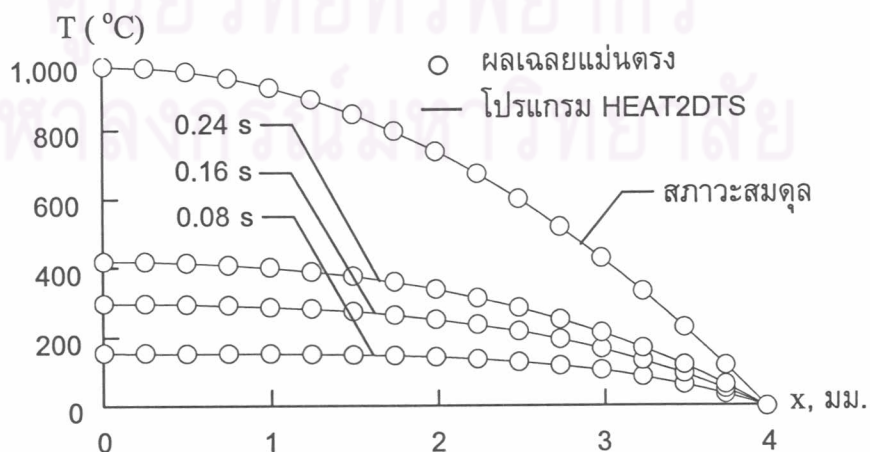
$t$  คือเวลา

การคำนวณหาการกระจายของอุณหภูมิที่เวลาต่าง ๆ ของแผ่นสี่เหลี่ยมด้วยโปรแกรม HEAT2DTS เริ่มต้นจากการแบ่งย่อยแผ่นสี่เหลี่ยมออกเป็นเอลิเมนต์สามเหลี่ยมขนาดเท่า ๆ กันจำนวน 512 เอลิเมนต์ 297 จุดต่อ ดังแสดงในรูปที่ 6.37 จากนั้นทำการประยุกต์เงื่อนไขขอบเขตคือกำหนดปริมาณความร้อนภายในขนาด  $2,000 \text{ W/mm}^2$  และกำหนดอุณหภูมิ 0 องศาเซลเซียสบนจุดต่อที่อยู่บนขอบทางด้านซ้ายและขวา จากนั้นกำหนดอุณหภูมิเริ่มต้น ( $t = 0 \text{ sec}$ ) ของจุดต่อทั้งหมดให้เท่ากับ 0 องศาเซลเซียส ต่อมาทำการคำนวณหาการกระจายของอุณหภูมิตามแผ่นสี่เหลี่ยมที่เวลา 0.08, 0.16, 0.24 วินาที และที่สภาวะสมดุล



รูปที่ 6.37 รูปแบบไฟไนต์เอลิเมนต์สำหรับปัญหาแผ่นสี่เหลี่ยมที่ผลิตความร้อนได้เอง

รูปที่ 6.38 เป็นการพล็อตเปรียบเทียบการกระจายของอุณหภูมิที่เวลา 0.08, 0.16, 0.24 วินาที และที่สภาวะสมดุลระหว่างผลลัพธ์ที่ได้จากโปรแกรม HEAT2DTS กับผลเฉลยแม่นยำที่ได้จากสมการ (6.15) จะเห็นได้ว่าผลลัพธ์ที่ได้มีความใกล้เคียงกับผลเฉลยแม่นยำ



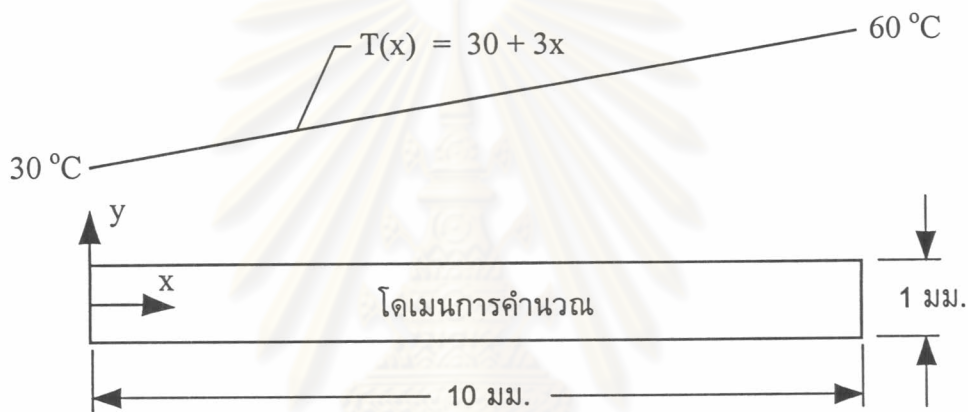
รูปที่ 6.38 การกระจายของอุณหภูมิที่เวลา 0.08, 0.16, 0.24 วินาที และที่สภาวะสมดุล สำหรับปัญหาแผ่นสี่เหลี่ยมที่ผลิตความร้อนได้เอง

### 6.3 ตรวจสอบโปรแกรมคอมพิวเตอร์สำหรับปัญหากลศาสตร์ของแข็ง

โปรแกรม STRESS2DTH ที่ประดิษฐ์ขึ้นได้ถูกนำมาตรวจสอบความถูกต้องกับตัวอย่างที่มีภาระเนื่องจากอุณหภูมิและมีผลเฉลยแม่นยำ 2 ตัวอย่างดังนี้

#### 6.3.1 แผ่นสี่เหลี่ยมยาวที่มีอุณหภูมิสัมพัทธ์เชิงเส้นกับระยะตามยาว

ลักษณะปัญหาเป็นแผ่นสี่เหลี่ยมขนาด 10 x 1 ตร.มม. มีอุณหภูมิที่ขึ้นกับระยะทาง  $x$  ด้วยความสัมพันธ์เชิงเส้นคือ  $T(x) = 30 + 3x$  โดยตลอดขอบทางด้านซ้ายจะมีอุณหภูมิเท่ากับ  $30^{\circ}\text{C}$  ส่วนตลอดขอบทางด้านขวามีอุณหภูมิเท่ากับ  $60^{\circ}\text{C}$  ดังแสดงในรูปที่ 6.39 ส่วนขอบทางด้านซ้ายจะไม่มีการเคลื่อนที่ ดังแสดงในรูปที่ 6.39 แผ่นสี่เหลี่ยมมีคุณสมบัติทางกลคือค่าโมดูลัสของความยืดหยุ่น  $E = 71,705.5 \text{ N/mm}^2$ ; ค่าอัตราส่วนปัวส์ซง  $\nu$  เท่ากับ 0.29 และสัมประสิทธิ์การขยายตัว  $\alpha = 1.27\text{E-}05 \text{ mm/mm-}^{\circ}\text{C}$



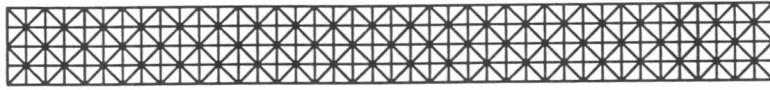
รูปที่ 6.39 แผ่นสี่เหลี่ยมที่อุณหภูมิมีความสัมพันธ์เชิงเส้นกับระยะตามยาว

ปัญหานี้มีผลเฉลยแม่นยำดังนี้

$$u(x) = \alpha \left( 30x + \frac{3x^2}{2} \right) \quad (6.17)$$

โดย  $u(x)$  คือค่าการเคลื่อนตัวในแนวแกน  $x$

การคำนวณค่าการเคลื่อนตัวเนื่องจากอุณหภูมิที่แตกต่างกันบนแผ่นสี่เหลี่ยมจะใช้โปรแกรม STRESS2DTH โดยเริ่มต้นจากการแบ่งย่อยแผ่นสี่เหลี่ยมออกเป็นเอลิเมนต์สามเหลี่ยมขนาดเท่า ๆ กันจำนวน 320 เอลิเมนต์ 205 จุดต่อ ดังแสดงในรูปที่ 6.40 จากนั้นทำการประยุกต์เงื่อนไขขอบเขตคือกำหนดไม่ให้มีการเคลื่อนที่ตลอดขอบทางด้านซ้าย และกำหนดอุณหภูมิขณะที่ยึดไม่มีความเค้น  $T_0$  เท่ากับ 0 องศาเซลเซียส และทำการคำนวณหาค่าการเคลื่อนตัวที่เกิดขึ้น



รูปที่ 6.40 รูปแบบไฟไนต์เอลิเมนต์สำหรับปัญหาแผ่นสี่เหลี่ยมที่อุณหภูมิมีความสัมพันธ์เชิงเส้นกับระยะตามยาว

รูปที่ 6.41 เป็นการพล็อตค่าการเคลื่อนตัวในแนวแกน  $x$  ระหว่างผลลัพธ์ที่คำนวณได้จากผลเฉลยแม่นยำตรงและโปรแกรม STRESS2DTH พบว่ามีค่าใกล้เคียงกันมาก



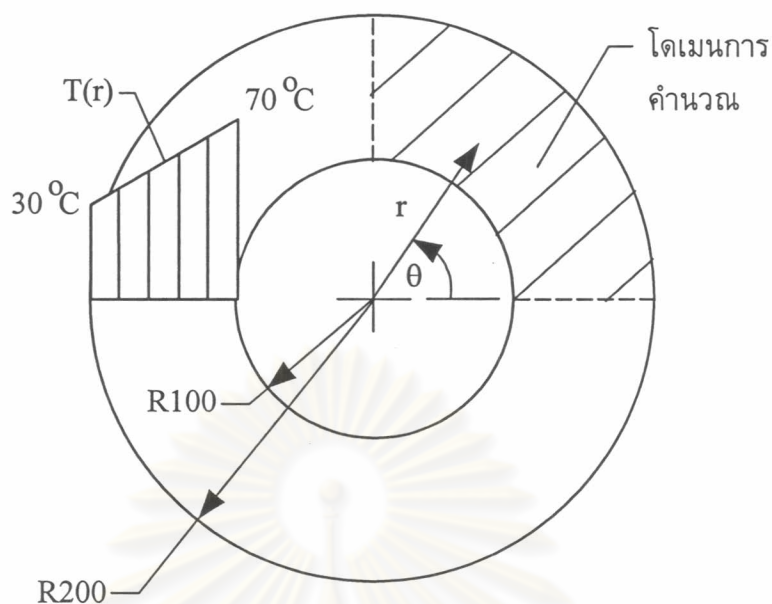
รูปที่ 6.41 ค่าการเคลื่อนตัวเนื่องจากความร้อนในแนวแกน  $x$  สำหรับปัญหาแผ่นสี่เหลี่ยมที่อุณหภูมิมีความสัมพันธ์เชิงเส้นกับระยะตามยาว

### 6.3.2 วงแหวนที่มีอุณหภูมิสัมพันธ์เชิงเส้นกับรัศมี

ลักษณะปัญหาเป็นวงแหวนที่มีรัศมีภายใน  $a$  เท่ากับ 100 มม. รัศมีภายนอก  $b$  เท่ากับ 200 มม. และวงแหวนมีอุณหภูมิเป็นความสัมพันธ์เชิงเส้นตรงกับรัศมี  $r$  ดังนี้

$$T(r) = 110 - 0.4r$$

โดยอุณหภูมิตลอดขอบด้านในเท่ากับ  $30^{\circ}\text{C}$  และขอบด้านนอกเท่ากับ  $70^{\circ}\text{C}$  ดังแสดงในรูปที่ 6.42 วงแหวนมีคุณสมบัติทางกลคือค่าโมดูลัสของความยืดหยุ่น  $E = 71,705.5 \text{ N/mm}^2$ ; ค่าอัตราส่วนปัวส์ซง  $\nu$  เท่ากับ 0.29; สัมประสิทธิ์การขยายตัว  $\alpha = 2.286\text{E-}05 \text{ mm/mm}^{\circ}\text{C}$  และมีอุณหภูมิขณะที่วัสดุไม่มีความเค้น  $T_0$  เท่ากับ 0 องศาเซลเซียส



รูปที่ 6.42 วงแหวนที่อุณหภูมิมีความสัมพันธ์เชิงเส้นกับรัศมี

ปัญหานี้สามารถหาผลเฉลยแน่นอนตรงสำหรับกรณีความเค้นในระนาบได้ดังนี้

$$u(r) = \frac{\alpha}{r} \left[ \frac{(1-\nu)r^2 + (1+\nu)a^2}{b^2 - a^2} \int_a^b T(r)r \, dr + (1+\nu) \int_a^r T(r)r \, dr \right] \quad (6.18)$$

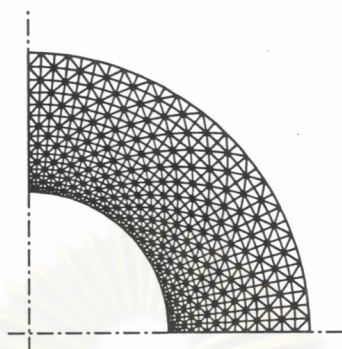
$$\sigma_r(r) = \frac{E\alpha}{r^2} \left[ \frac{r^2 - a^2}{b^2 - a^2} \int_a^b T(r)r \, dr - \int_a^r T(r)r \, dr \right] \quad (6.19)$$

$$\sigma_\theta(r) = \frac{E\alpha}{r^2} \left[ \frac{r^2 + a^2}{b^2 - a^2} \int_a^b T(r)r \, dr + \int_a^r T(r)r \, dr - T(r)r^2 \right] \quad (6.20)$$

โดย  $u(r)$  คือค่าการเคลื่อนตัวในแนวรัศมี

ลักษณะปัญหานี้มีความสมมาตร ดังนั้นสามารถใช้โดเมนการคำนวณเพียง 1 ใน 4 ของวงแหวน ดังในรูปที่ 6.42 การคำนวณค่าการเคลื่อนตัวเนื่องจากอุณหภูมิที่แตกต่างกันบนวงแหวนจะใช้โปรแกรม STRESS2DTH โดยเริ่มต้นจากการแบ่งย่อยแผ่นสี่เหลี่ยมออกเป็นเอลิเมนต์สามเหลี่ยมขนาดเท่า ๆ กันจำนวน 900 เอลิเมนต์ 496 จุดต่อ ดังแสดงในรูปที่ 6.43 จากนั้นทำการประยุกต์เงื่อนไขขอบเขตคือกำหนดให้ตลอดขอบทางด้านล่างไม่มีการเคลื่อนที่ในแนว

แกน  $y$  และขอบทางด้านซ้ายจะไม่มีเคลื่อนที่ในแนวแกน  $x$  รวมทั้งกำหนดอุณหภูมิ  $T(r)$  ตลอดทั้งโดเมน และทำการคำนวณหาค่าการเคลื่อนตัวที่เกิดขึ้น



รูปที่ 6.43 รูปแบบไฟไนต์เอลิเมนต์สำหรับวงแหวน  
ที่อุณหภูมิมีความสัมพันธ์เชิงเส้นกับรัศมี

ค่าการเคลื่อนตัวในแนวรัศมี ความเค้นในแนวรัศมีและในแนว  $\theta$  ที่คำนวณได้จากโปรแกรม STRESS2DTH ได้นำมาพล็อตเปรียบเทียบกับผลเฉลยแม่นยำตรงจากสมการ (6.18) – (6.20) ตลอดแนวที่มุม  $\theta = 0$  ดังแสดงในรูปที่ 6.44 – 6.46 พบว่ามีค่าใกล้เคียงกัน



รูปที่ 6.44 การเปลี่ยนแปลงของค่าการเคลื่อนตัวตามทิศทางรัศมี ในแนวมุม  $\theta$  เท่ากับ 0





รูปที่ 6.45 ความเค้นในแนวรัศมี  $\sigma_r$  ตามทิศทางรัศมีที่แนวมุม  $\theta$  เท่ากับ 0



รูปที่ 6.46 ความเค้นในทิศ  $\theta$ ,  $\sigma_\theta$  ตามทิศทางรัศมีที่แนวมุม  $\theta$  เท่ากับ 0